

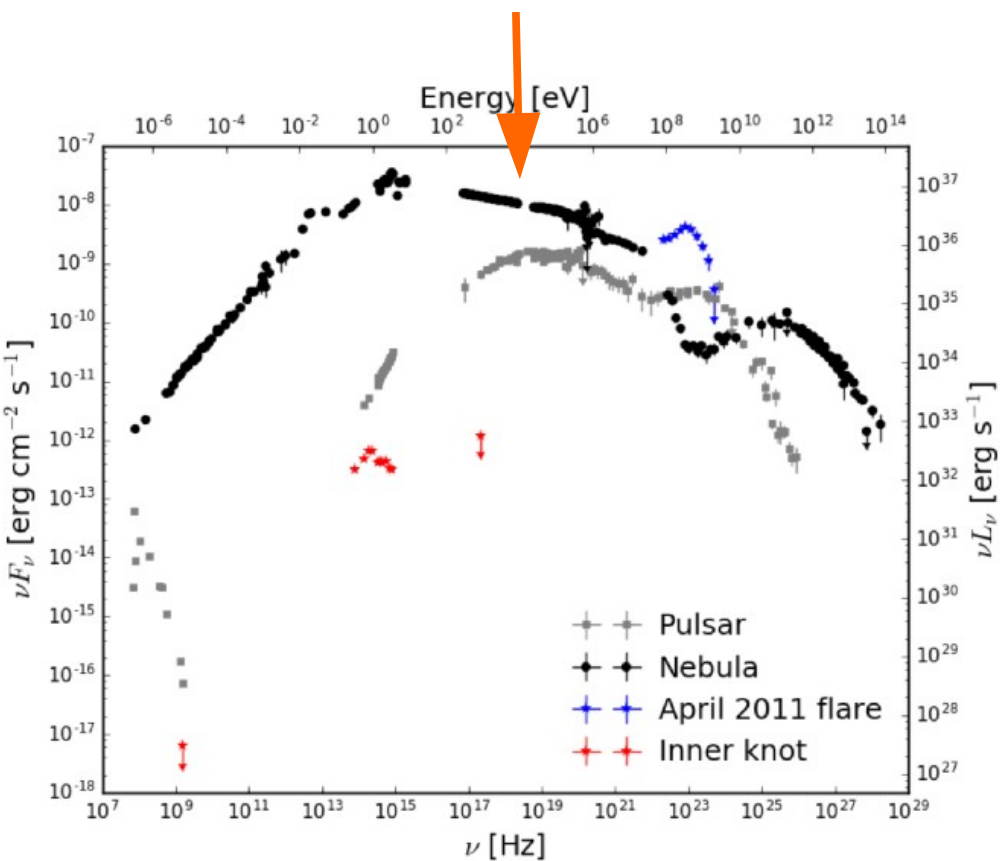
ACCELERATION D'ELECTRONS AU CHOC TERMINAL D'UN VENT DE PULSAR

Gwenael Giacinti (MPIK Heidelberg)
& John G. Kirk (MPIK Heidelberg)

Nebuleuse du Crabe – Observations

(1) XMM-Newton, NuSTAR :

RAYONS X



Buehler & Blandford (2014)

→ Indice spectral (rayons X) :
 $d(\ln N_\gamma) / d(\ln v) = -2.1$

→ Prediction spectre electrons
(chocs ultra-relativistes) :

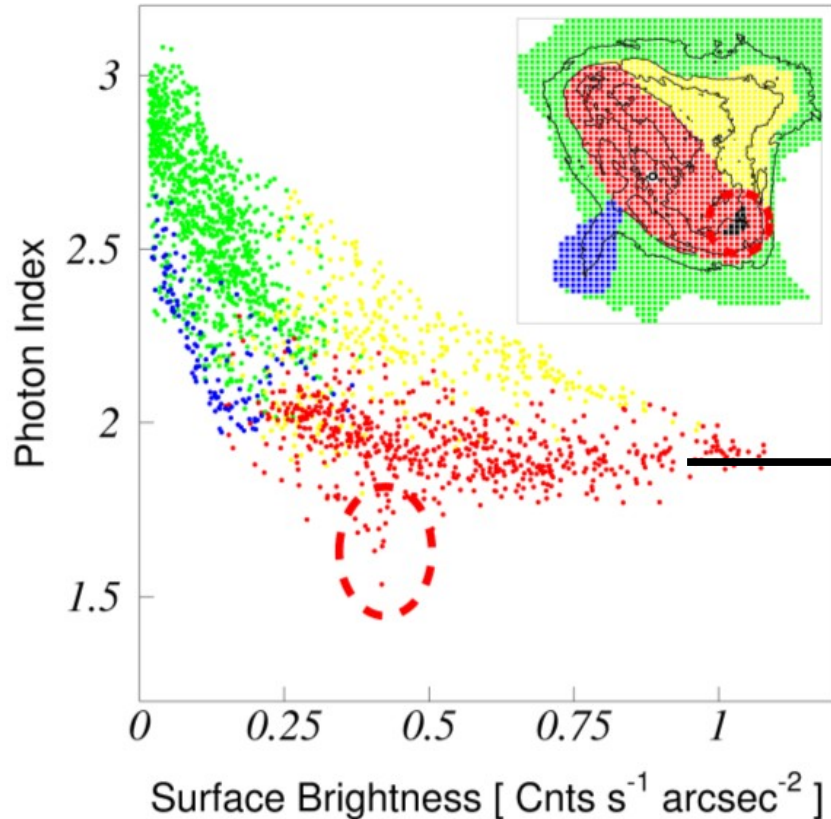
$$d(\ln N_e) / d(\ln \gamma) = -2.2$$

Semble etre en parfait accord...

**MAIS... Choc perpendiculaire,
=> Fermi 1st ordre ne marche pas!**

Nebuleuse du Crabe – Observations

(2) Carte indice spectral - Mori *et al.*, ApJ (2004):



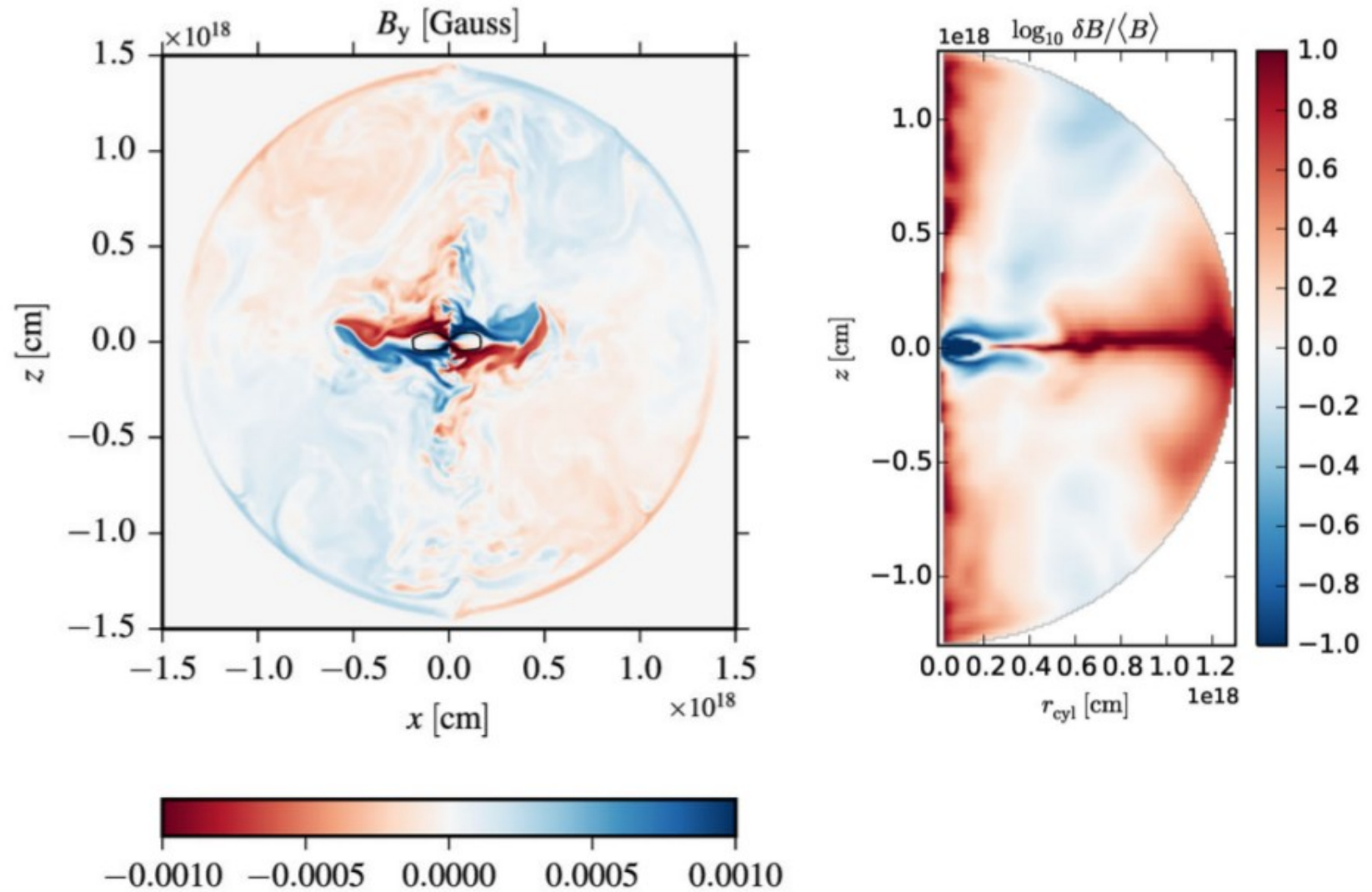
→ Spectre dur proche du choc,
dans le plan équatorial

Photon index $s \sim 1.9$

 $\Rightarrow d(\ln N_{e^-}) / d(\ln \gamma) \sim -1.8 !$

Simulations MHD – nebuleuse du Crabe

Porth *et al.*
(2014, 2016)



- $\mathbf{B} \propto f(z) \mathbf{u}_y$ pour $|z| < \sim 10^{17}$ cm ; $f(z) \propto z$?
- A $z \sim \pm 10^{17}$ cm: $\delta B/B \ll 1$; A $z=0$: $\delta B/B \gg 1$

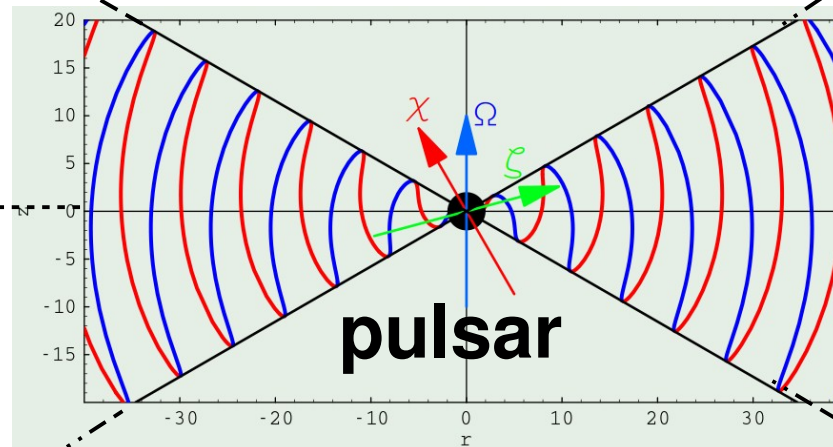
Modele

Plan
equatorial

Vent
strié

Choc
terminal

$$r_{TS} \simeq 4.3 \times 10^{17} \text{ cm}$$



pulsar

Vent
strié

$$z = +z_0$$

$$z = 0$$

Plan
equat.'

nebuleuse

$$\Theta \simeq 13^\circ \rightarrow z_0 = 10^{17} \text{ cm}$$

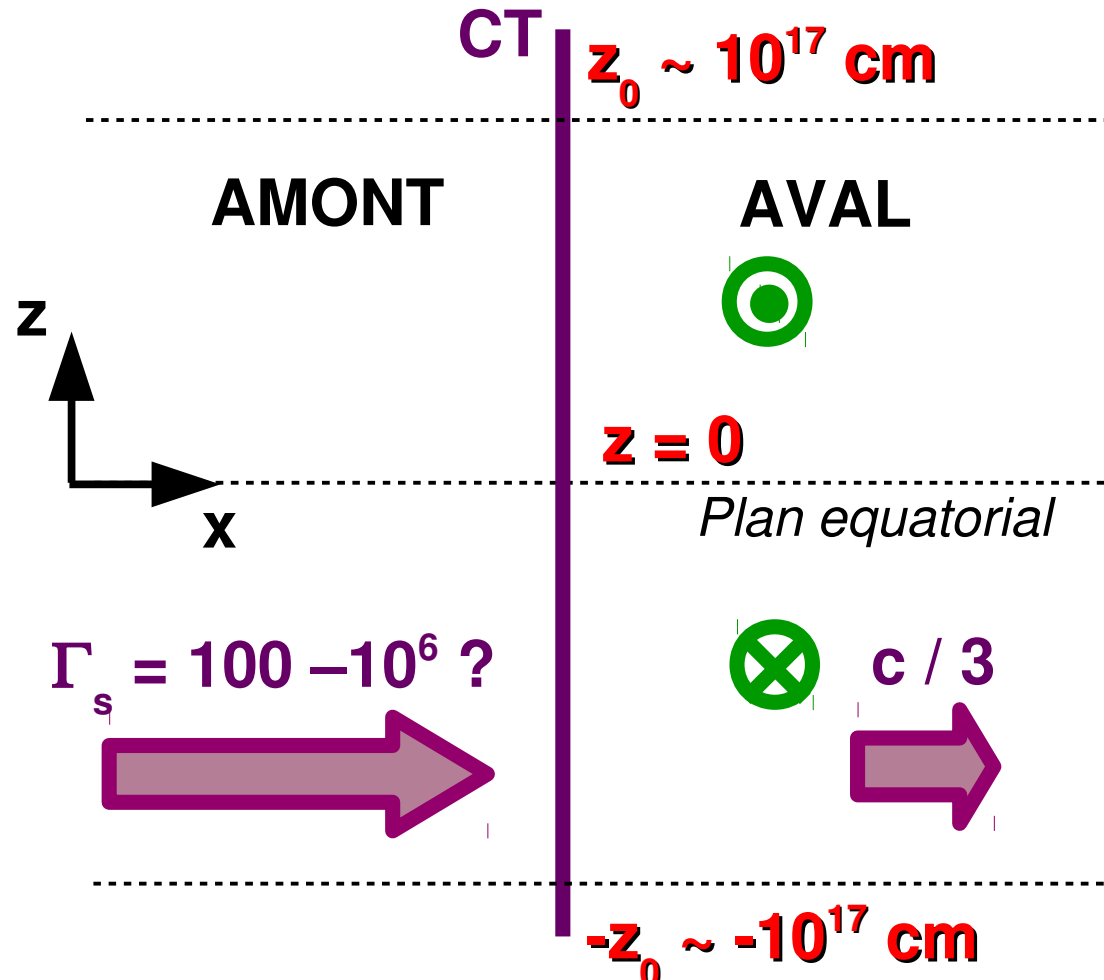
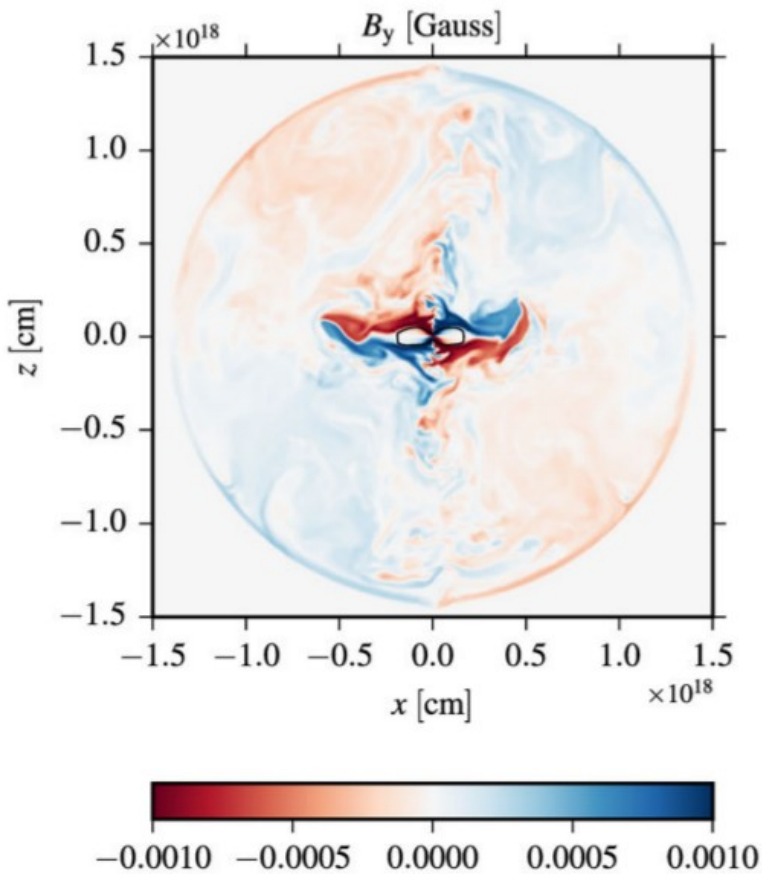
$$\Theta \simeq 80^\circ \rightarrow z_0 = 6 \times 10^{17} \text{ cm}$$

$$z = -z_0$$

Modele et simulations numériques

NOTRE MODELE (PLANAIRE) :

Porth *et al.* (2014, 2016):

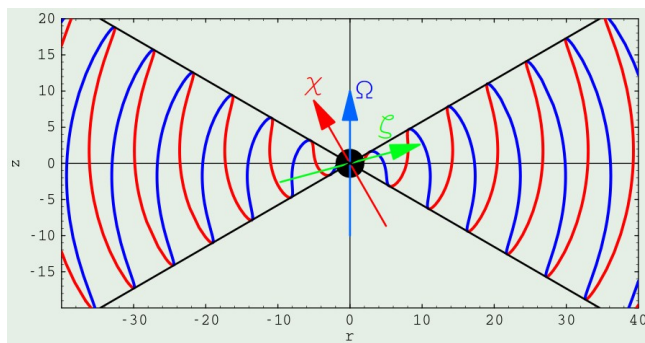


$$\mathbf{B}_d(z) = \begin{cases} -B_{d,0}\hat{\mathbf{y}} & \text{if } z > z_0 \\ -B_{d,0}(z/z_0)\hat{\mathbf{y}} & \text{if } |z| \leq z_0 \\ +B_{d,0}\hat{\mathbf{y}} & \text{if } z < -z_0 \end{cases}$$

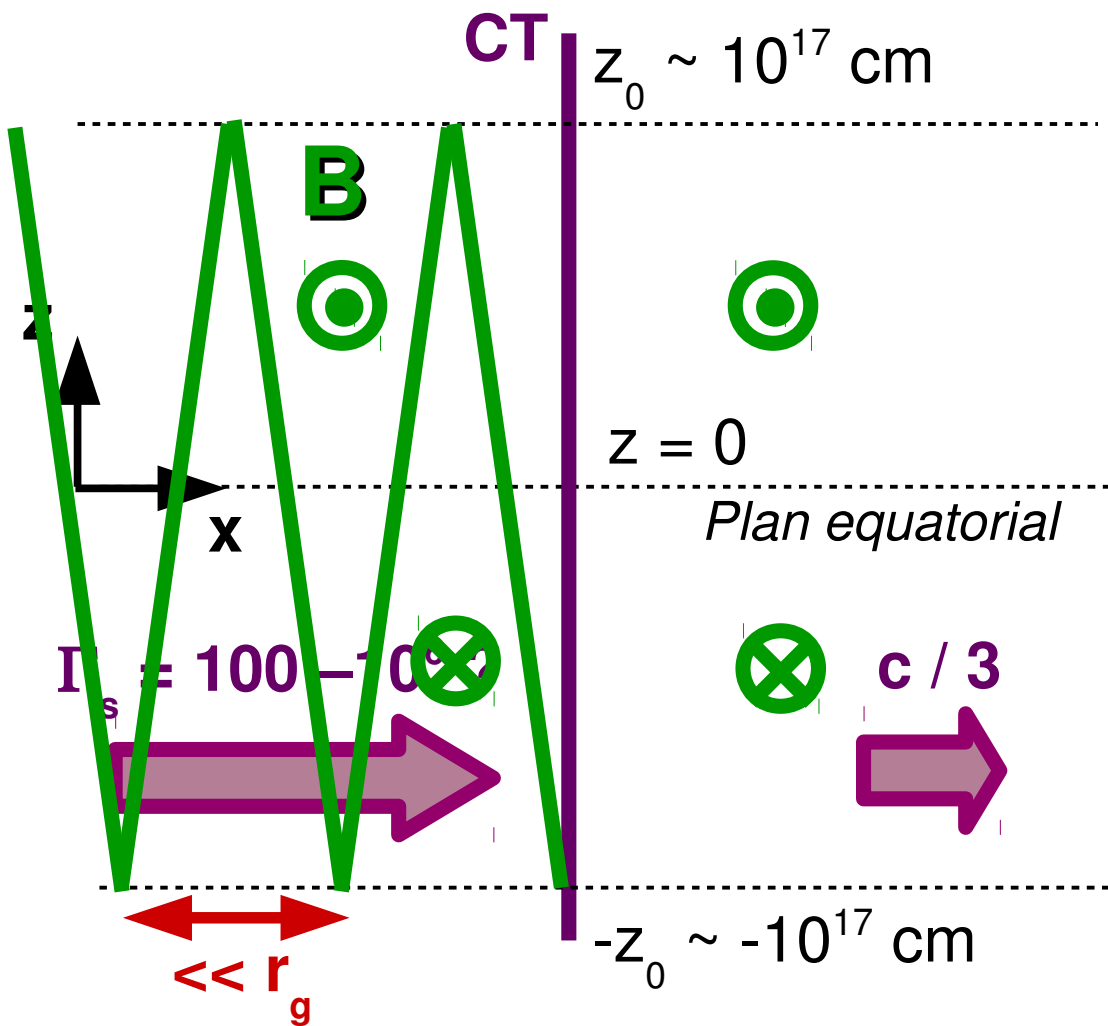
$$B_{d,0} = +1 \text{ mG}$$

Modele et simulations numériques

NOTRE MODELE (PLANAIRE) :



Vent
strié



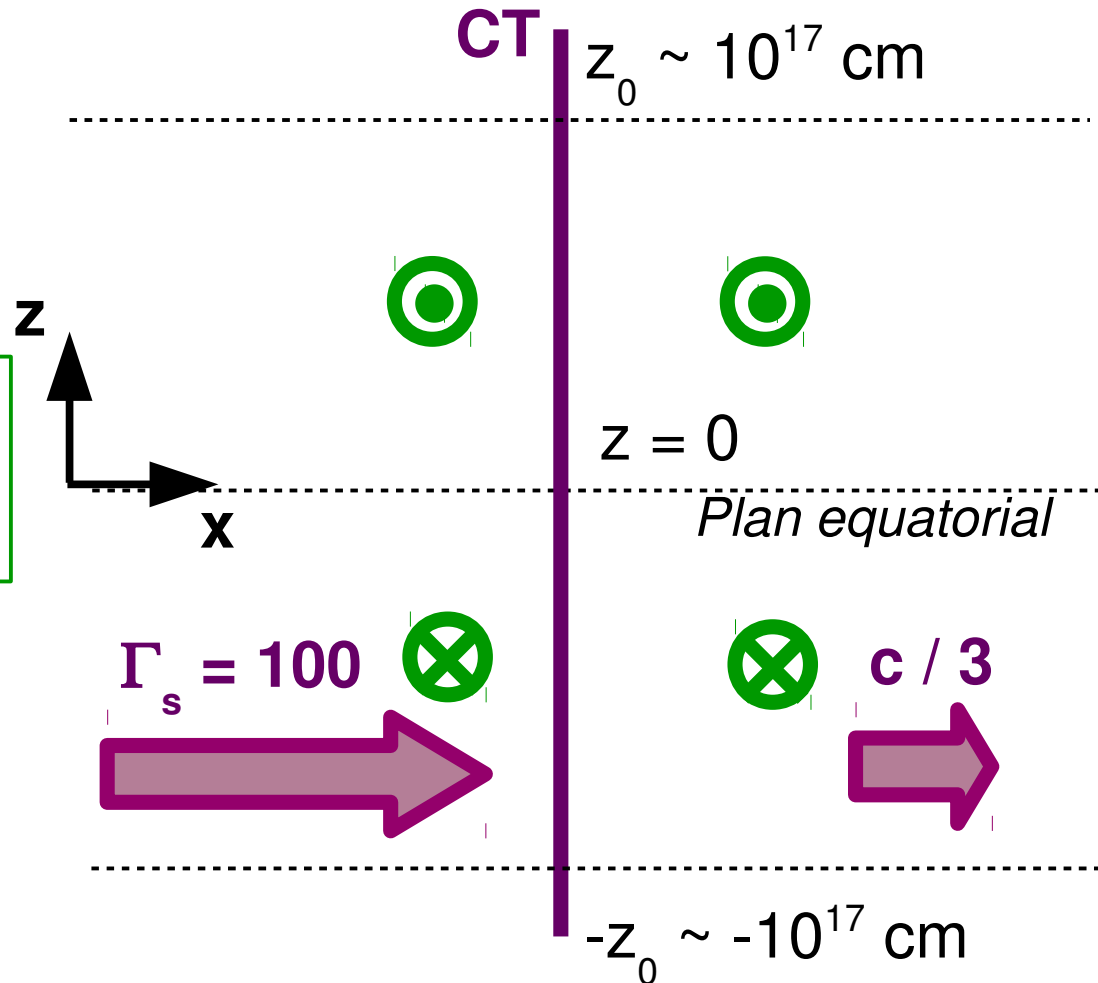
Modele et simulations numériques

NOTRE MODELE (PLANAIRE) :

$$\mathbf{B}_u(z) = \begin{cases} -B_{u,0}\hat{\mathbf{y}} & \text{if } z > z_0 \\ -B_{u,0}(z/z_0)\hat{\mathbf{y}} & \text{if } |z| \leq z_0 \\ +B_{u,0}\hat{\mathbf{y}} & \text{if } z < -z_0 \end{cases}$$

"Jump conditions" :

$$B_{u,RF} = (\Gamma_d/3\Gamma_u)B_{d,RF}$$

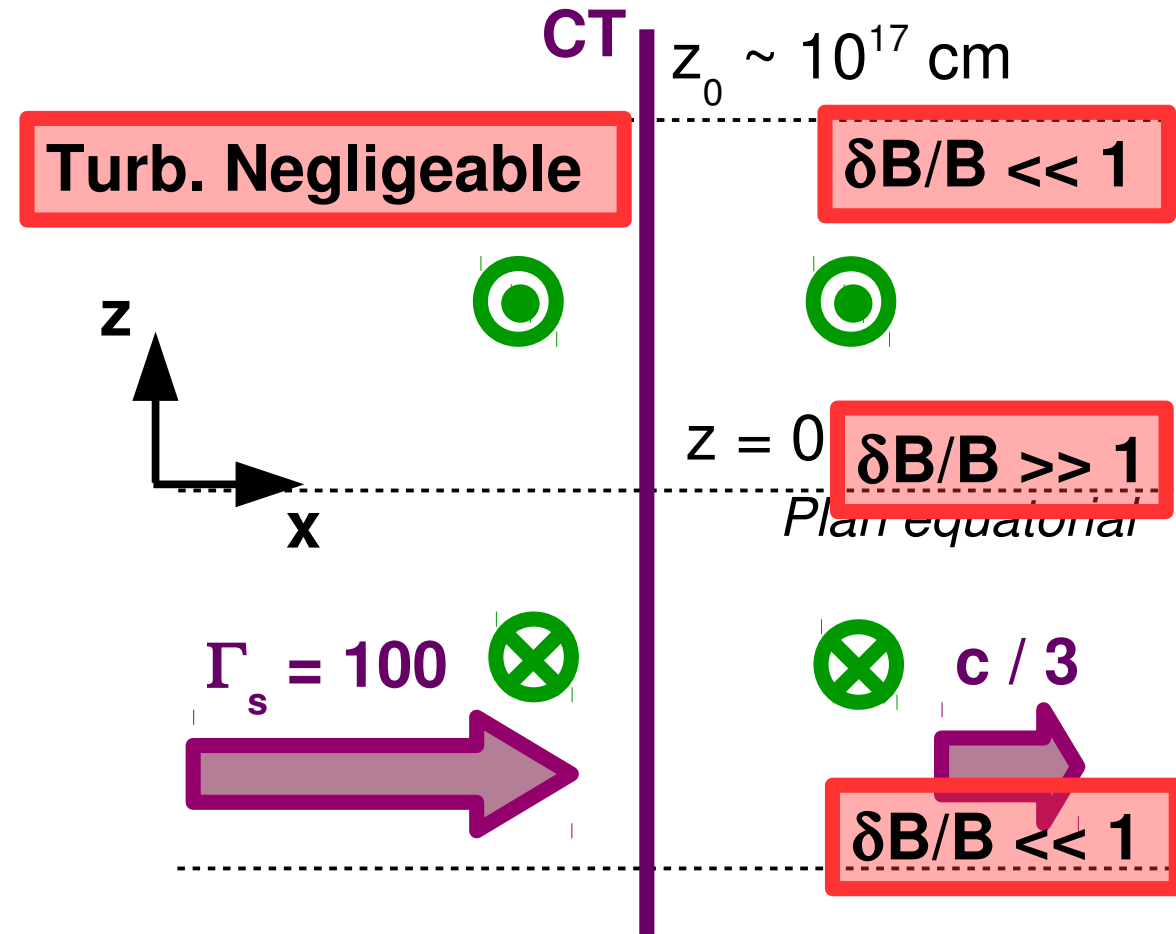


Dans le Ref. du choc, E_u et B_u ne dépendent pas de Γ_s , si $\Gamma_s \gg 10$.

Modele et simulations numériques

NOTRE MODELE (PLANAIRE) :

TURBULENCE :



→ Champ magnétique turbulent 3D sur une grille avec $N^3 = 256^3$.

$$\delta B_d \equiv (\langle \delta B_d^2 \rangle)^{1/2} > 0$$

$$\delta B_d = (0.3 - 400) \mu\text{G} = \text{cst. de } z$$

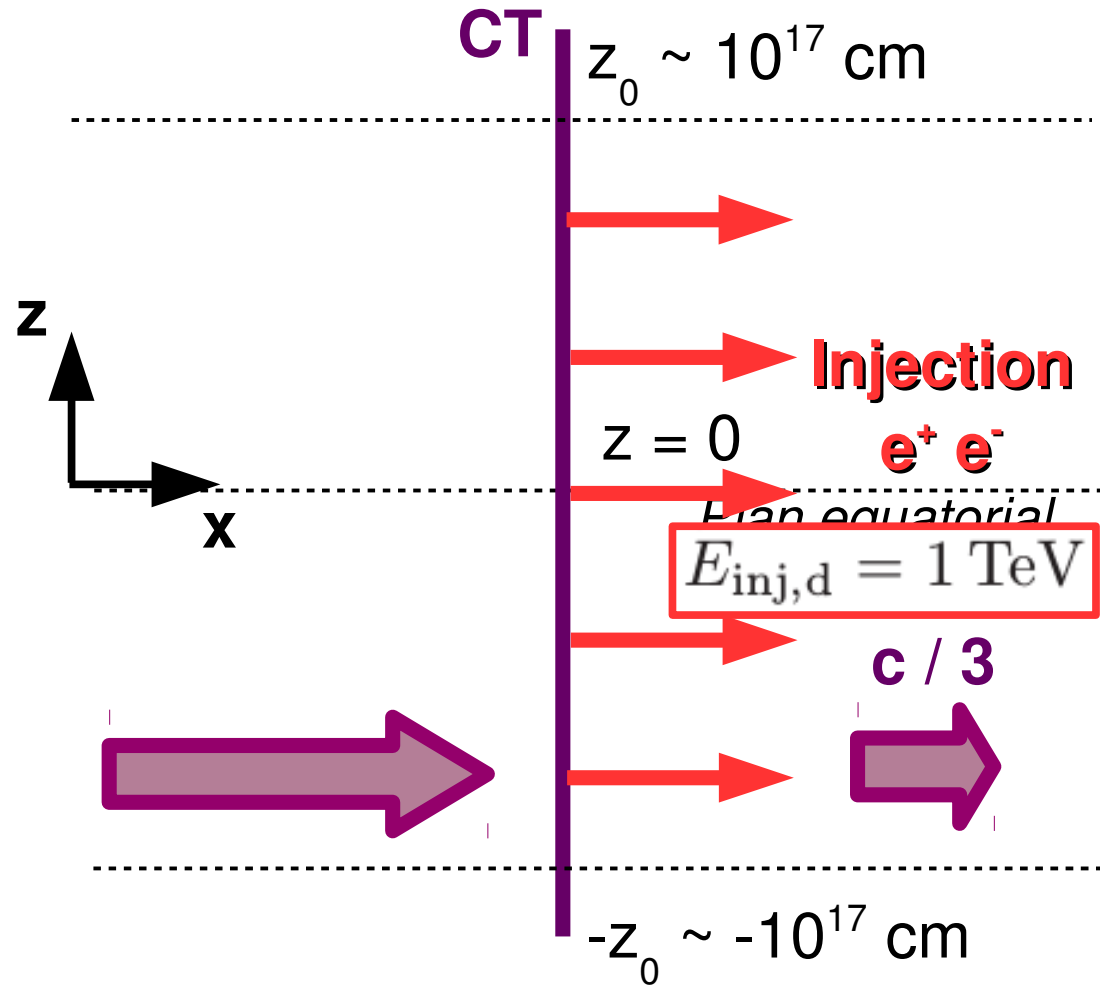
Modele et simulations numériques

NOTRE MODELE (PLANAIRE) :

→ Calcule en 3D les **trajectoires individuelles** des particules (limite de la **particule test**),

→ Calculs dans les Referentiels "Amont" ou "Aval" (i.e., $E=0$),

→ Si franchit le choc: Fait la transformation de Lorentz.



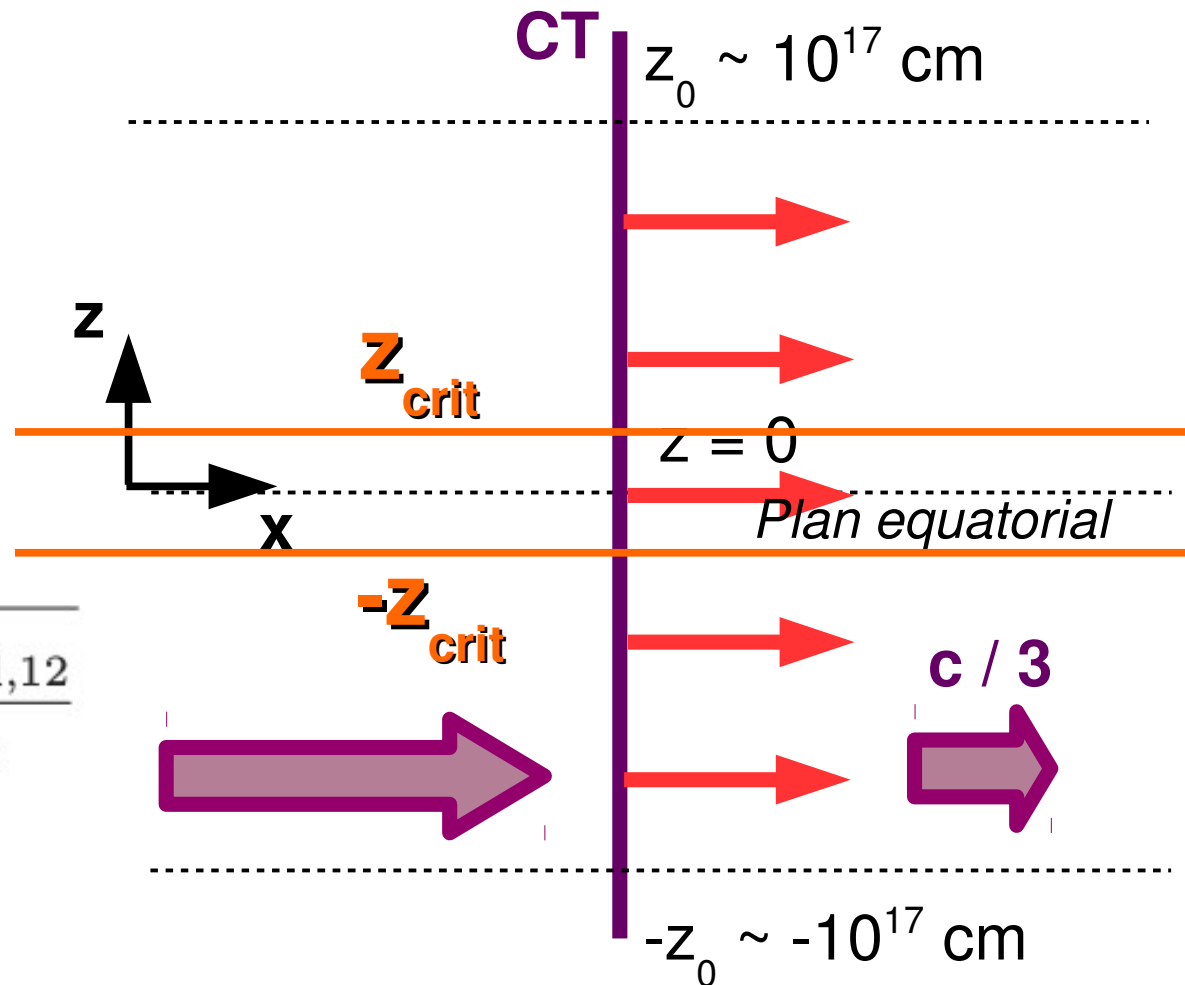
Modele et simulations numériques

NOTRE MODELE (PLANAIRE) :

$$z_{\text{crit}} = r_L [E_{\text{inj},d}; B_d(z_{\text{crit}})] :$$

$$z_{\text{crit}} = \sqrt{\frac{z_0 E_{\text{inj},d}}{ec B_{d,0}}}$$

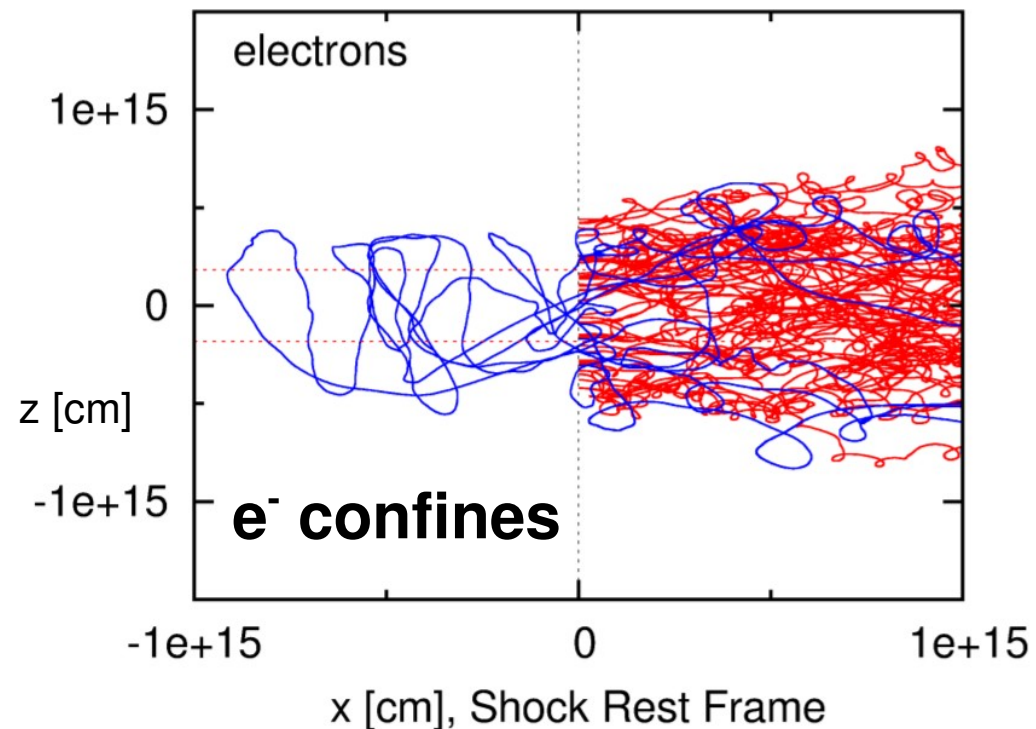
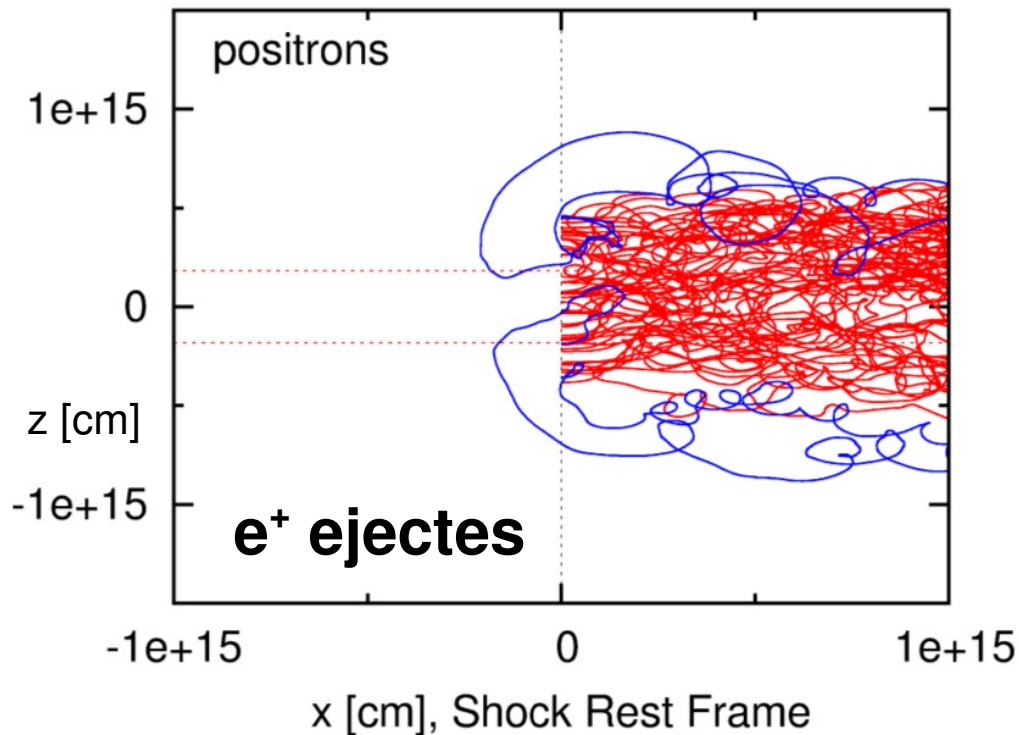
$$\simeq 5.8 \times 10^{14} \text{ cm} \sqrt{\frac{z_{0,17} E_{\text{inj},d,12}}{B_{d,0,-3}}}$$



$$z_w \propto z_{\text{crit}} \propto \sqrt{z_0} \sim \text{plusieurs } z_{\text{crit}}$$

Simulations numériques

Dans la feuille de courant équatoriale :

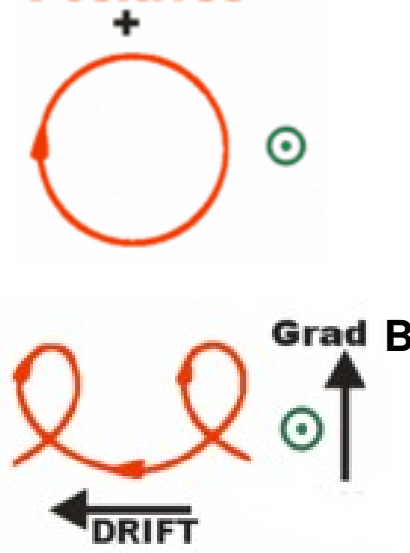


Peu/pas d'acceleration

Acceleration

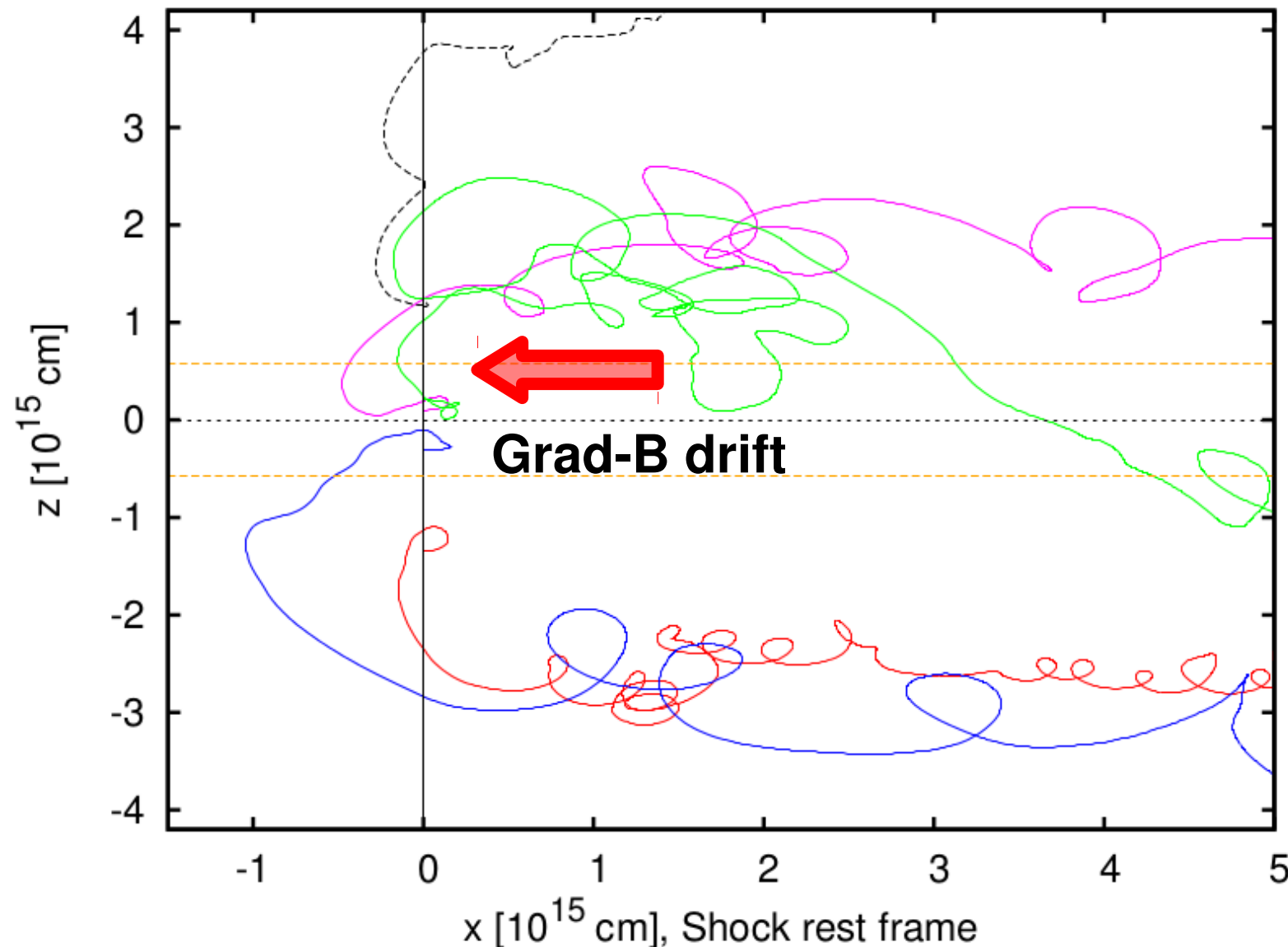
Positrons

Positives



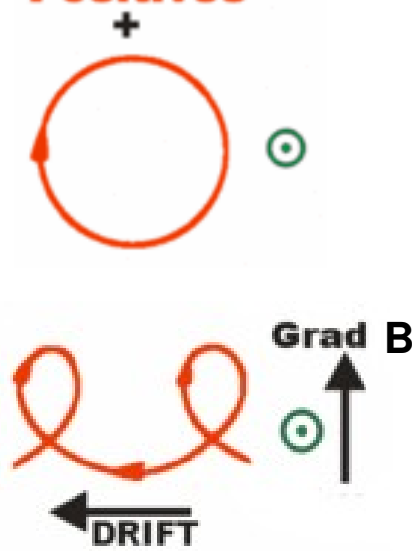
Grad-B drift :
peut contrer
l'advection a
c/3 proche de
 $z \sim \pm z_{\text{crit}}$

(... ou electrons - depend de la polarite)



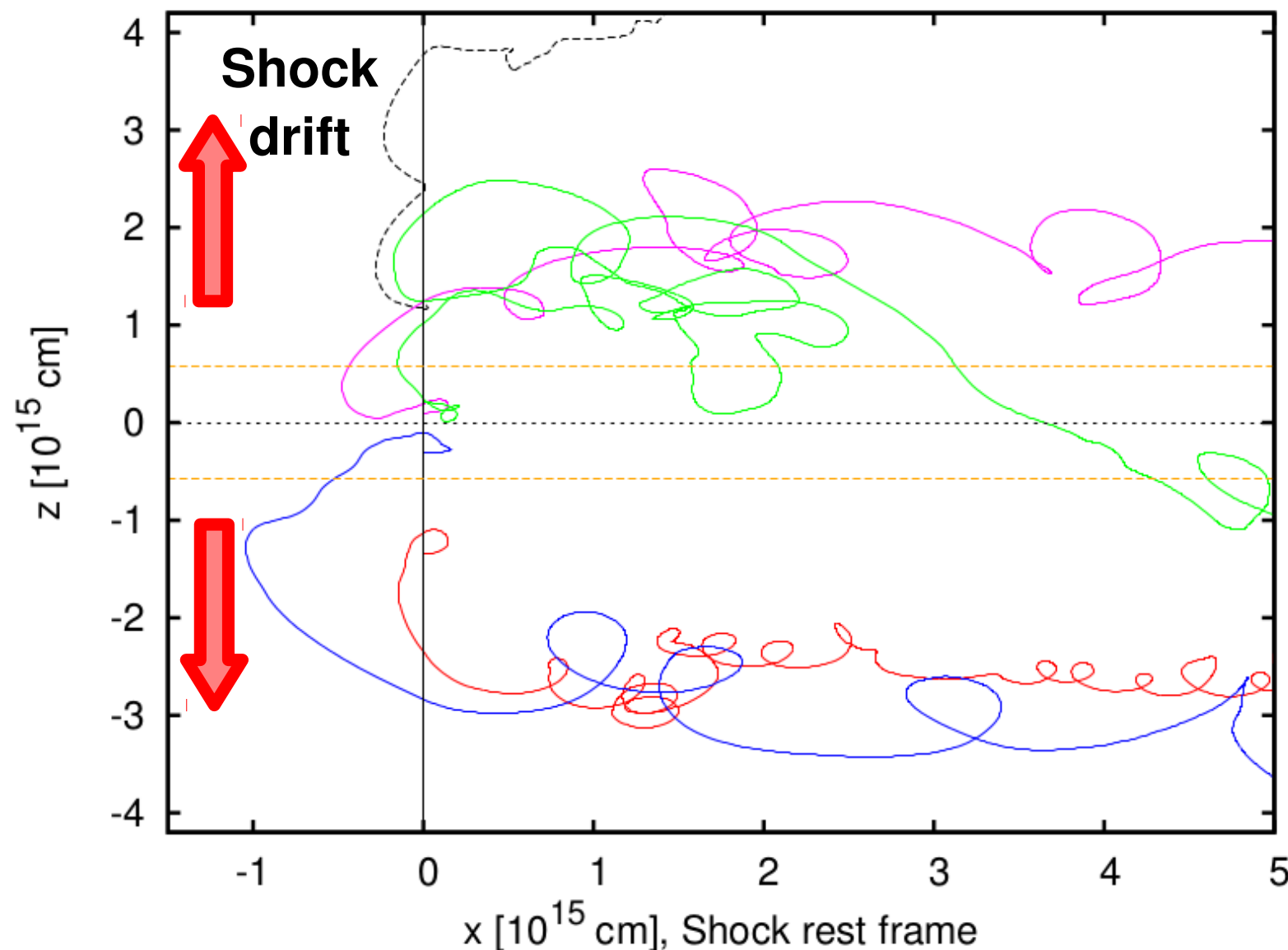
Positrons

Positives

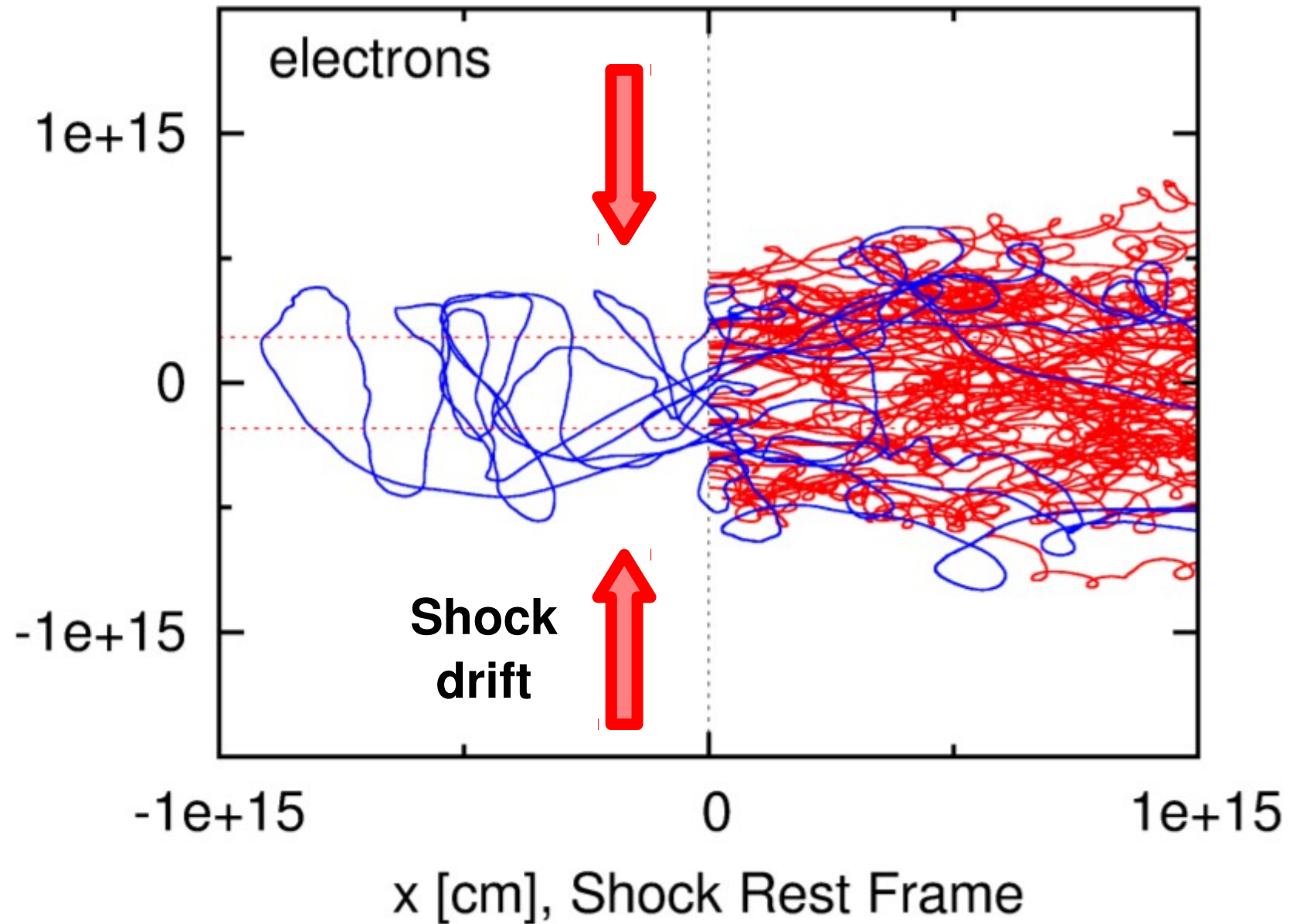


Shock-drift :
ejecte les
positrons

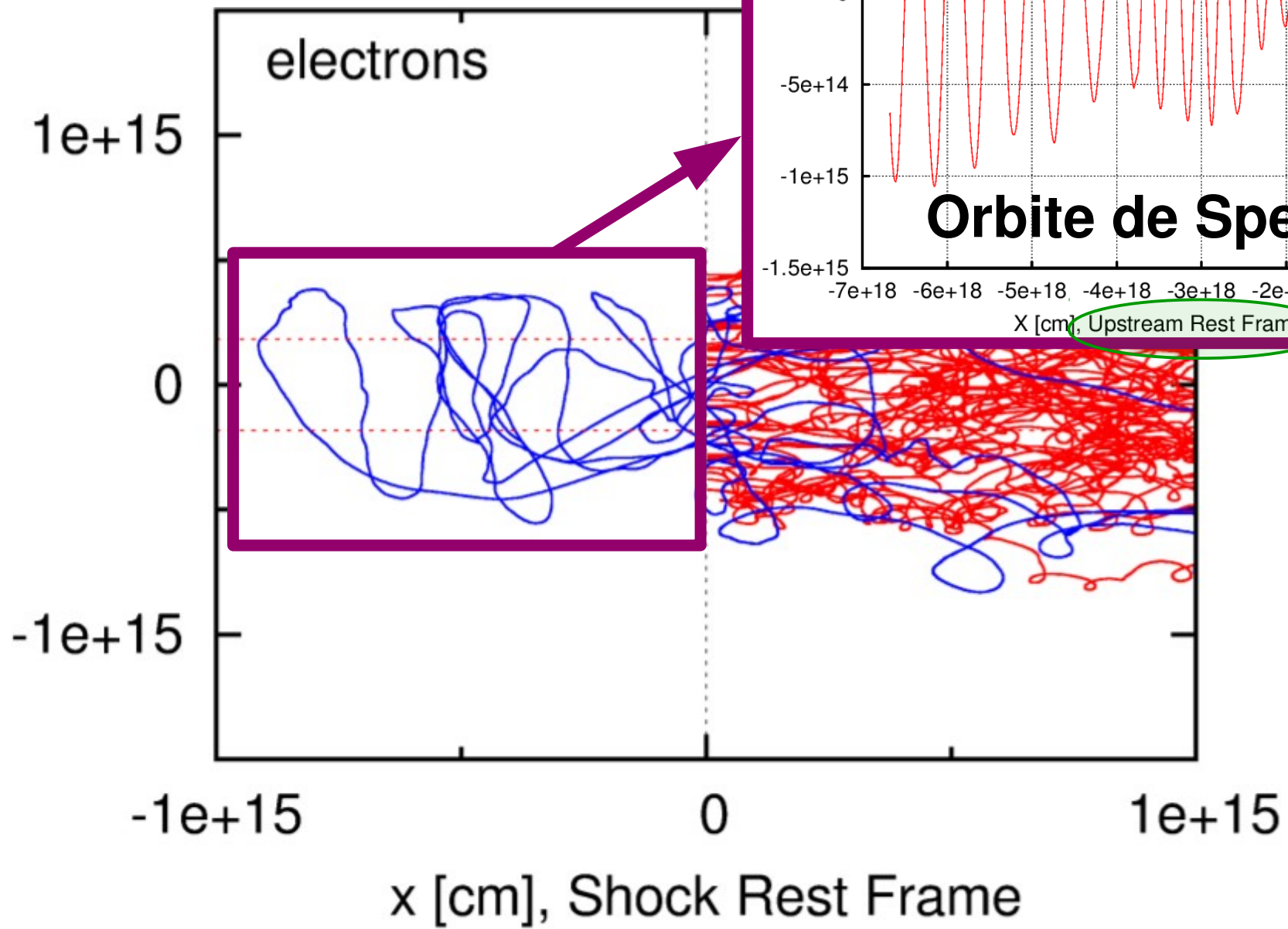
(... ou electrons - depend de la polarite)



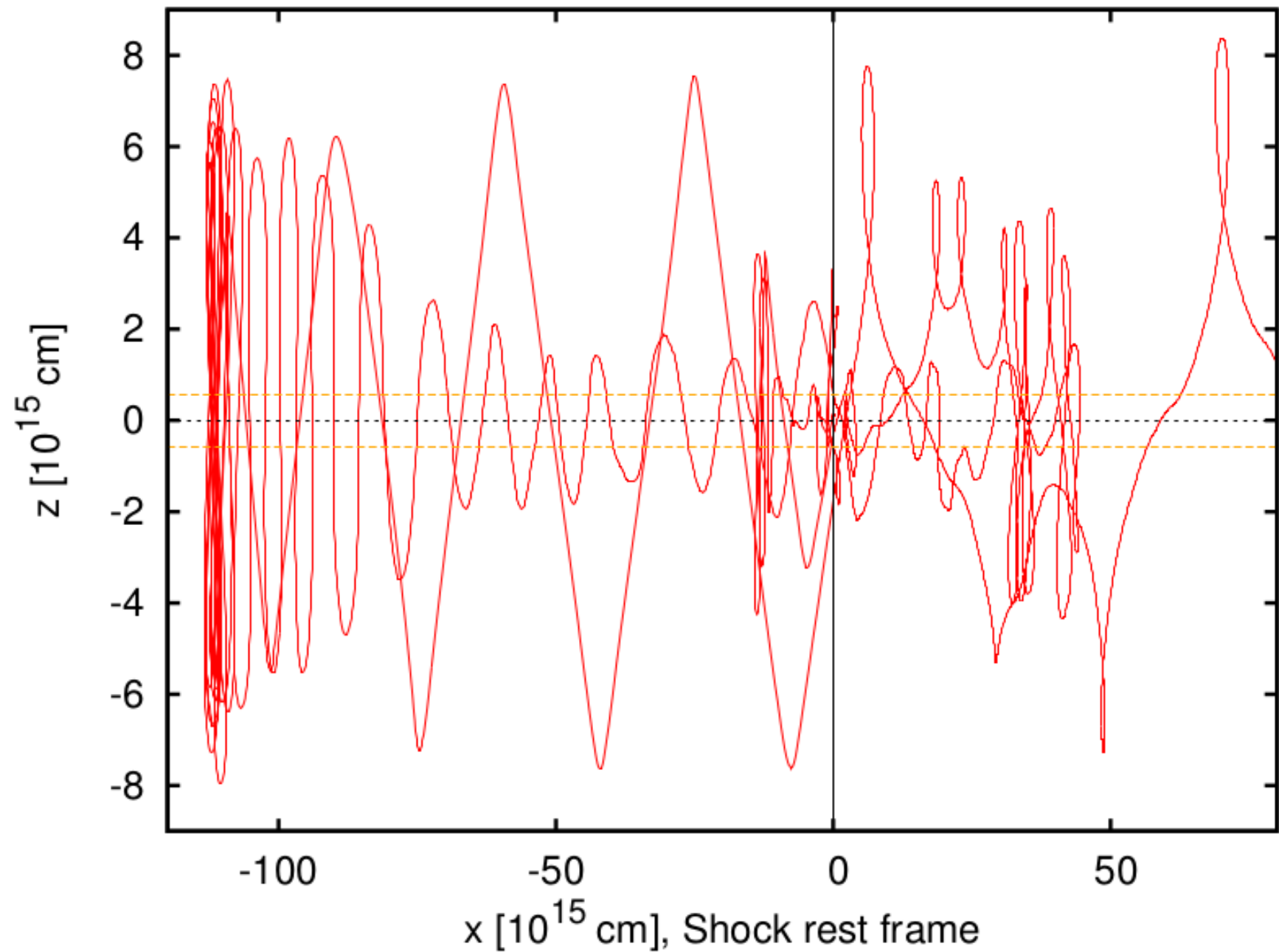
Electrons



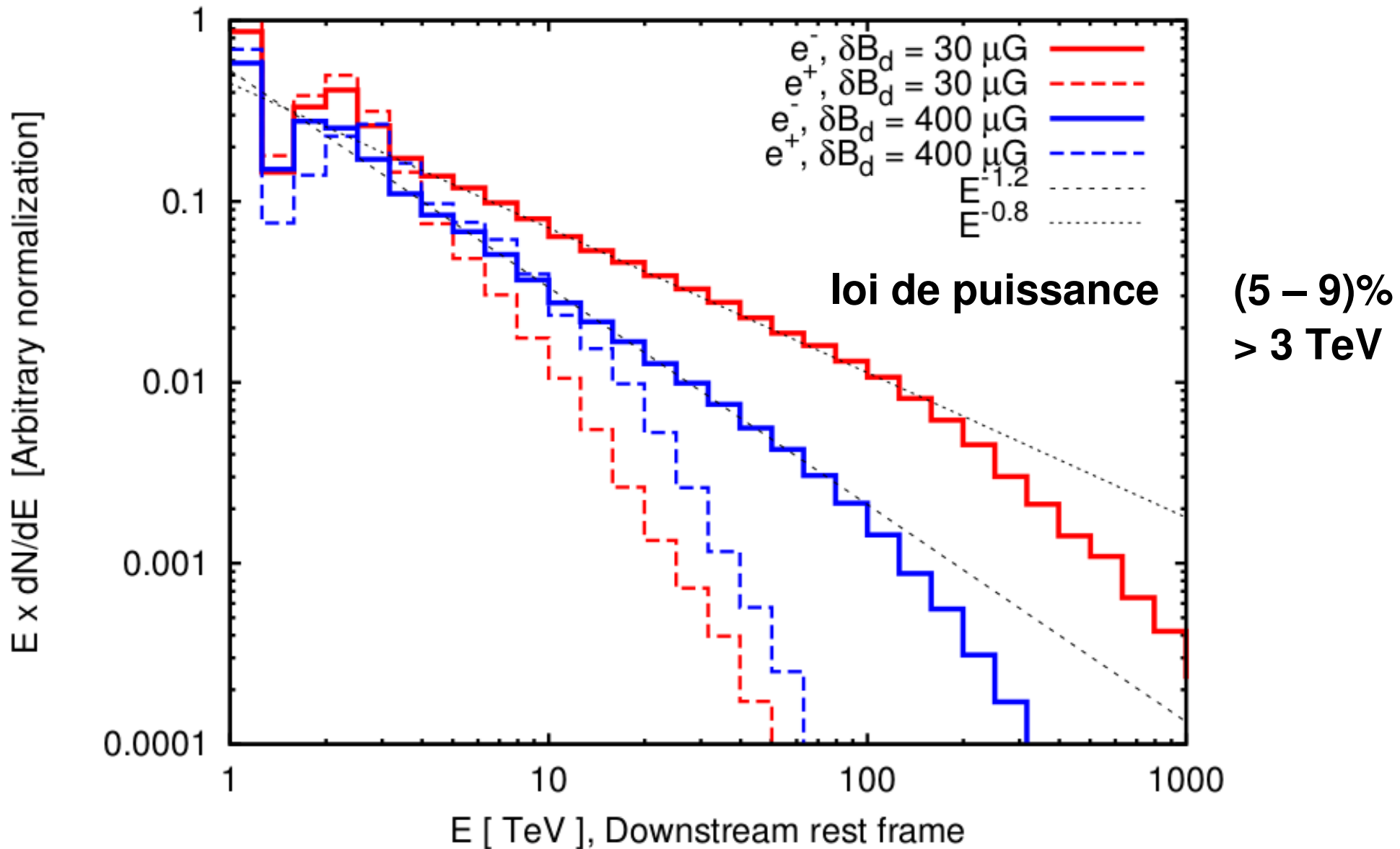
Electrons



Electrons



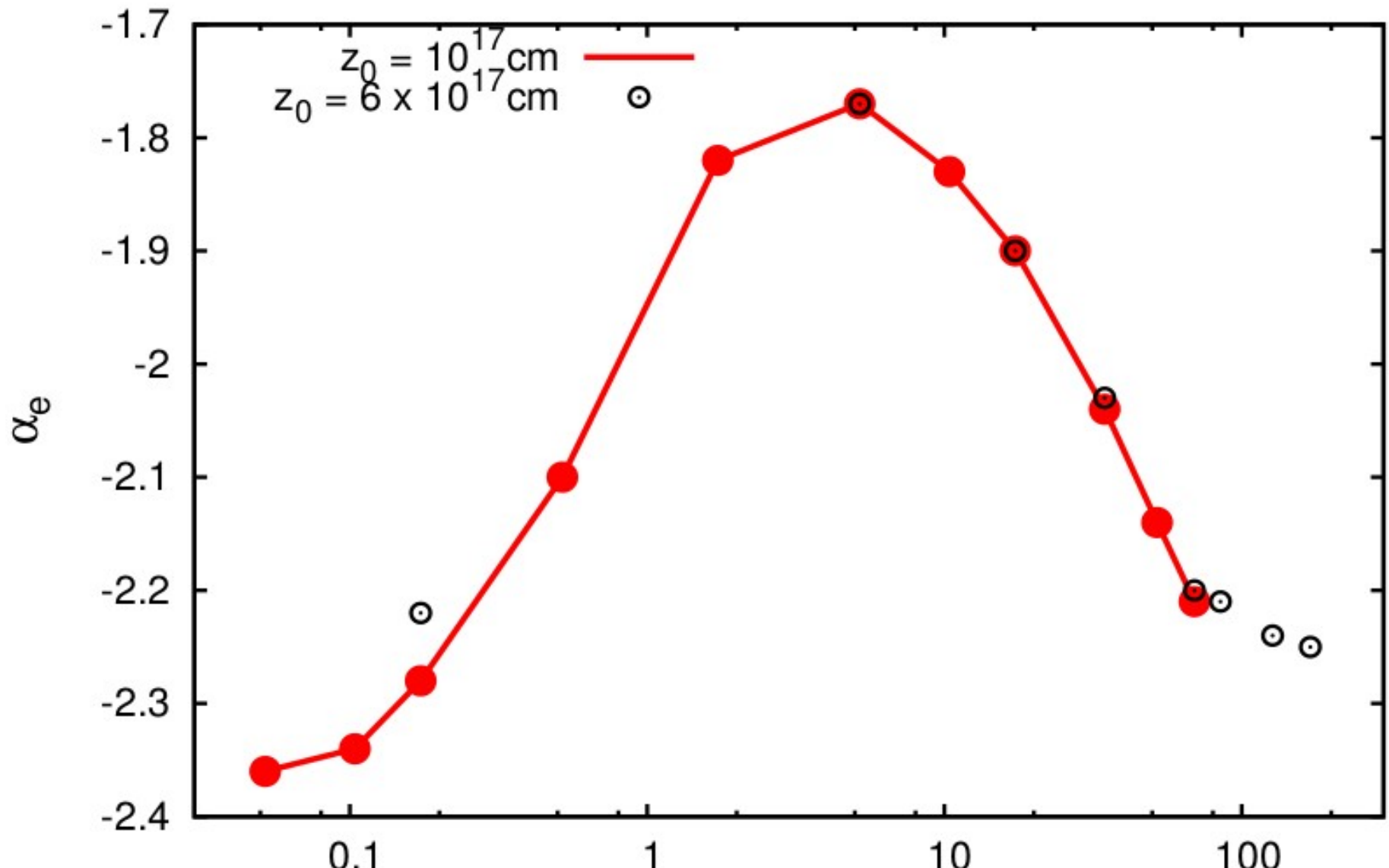
Spectres électrons et positrons



$$t_{\text{synch}} \sim t_{\text{gyr}} \Rightarrow$$

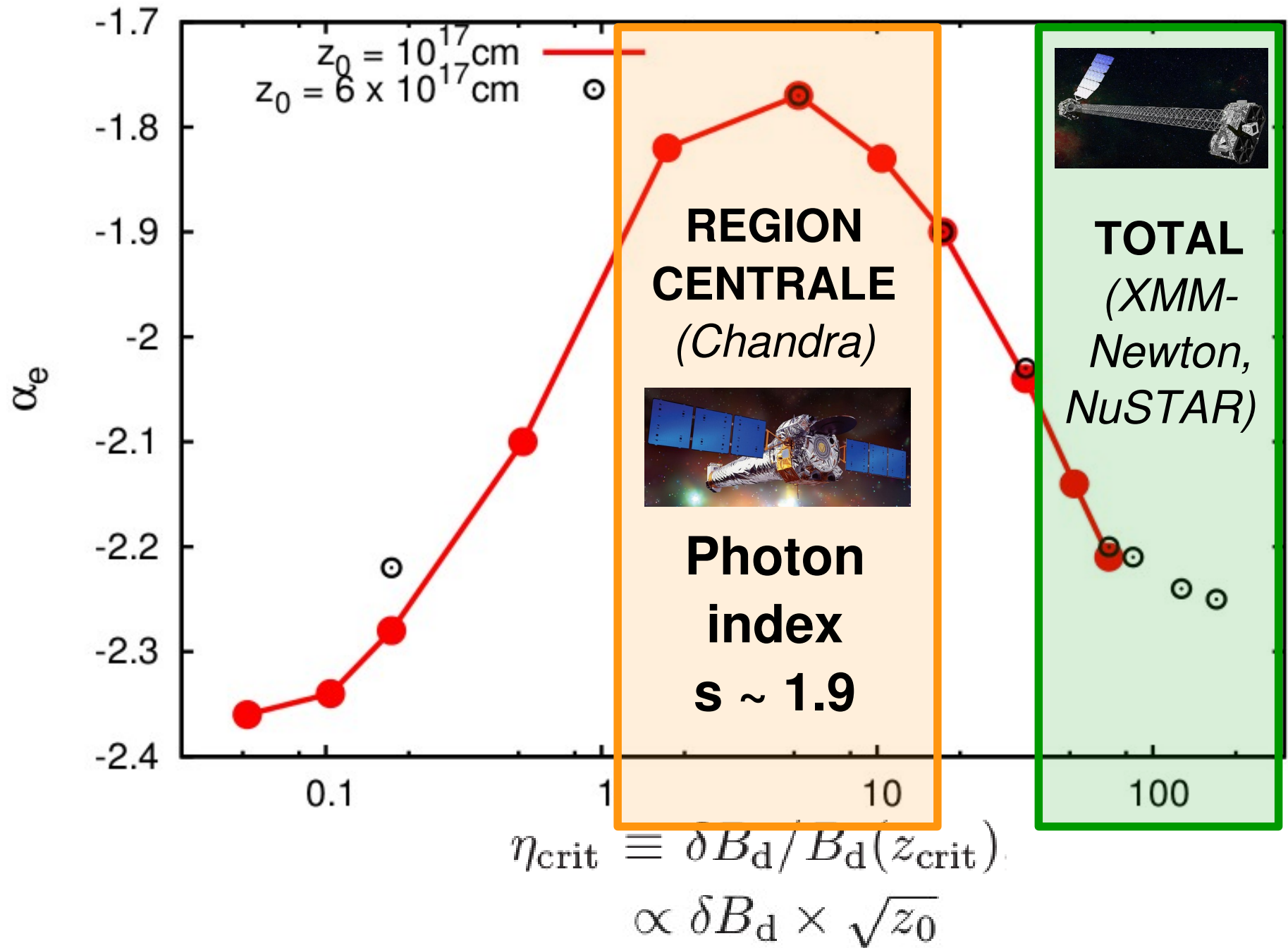
$$E_{\max} = \sqrt{\frac{3m_e^2 c^5 \mu_0 e}{2\pi\sigma_T B}} \simeq 1.1 \text{ PeV } B_{d,0,-3}^{-1/2}$$

Indice spectral (electrons)

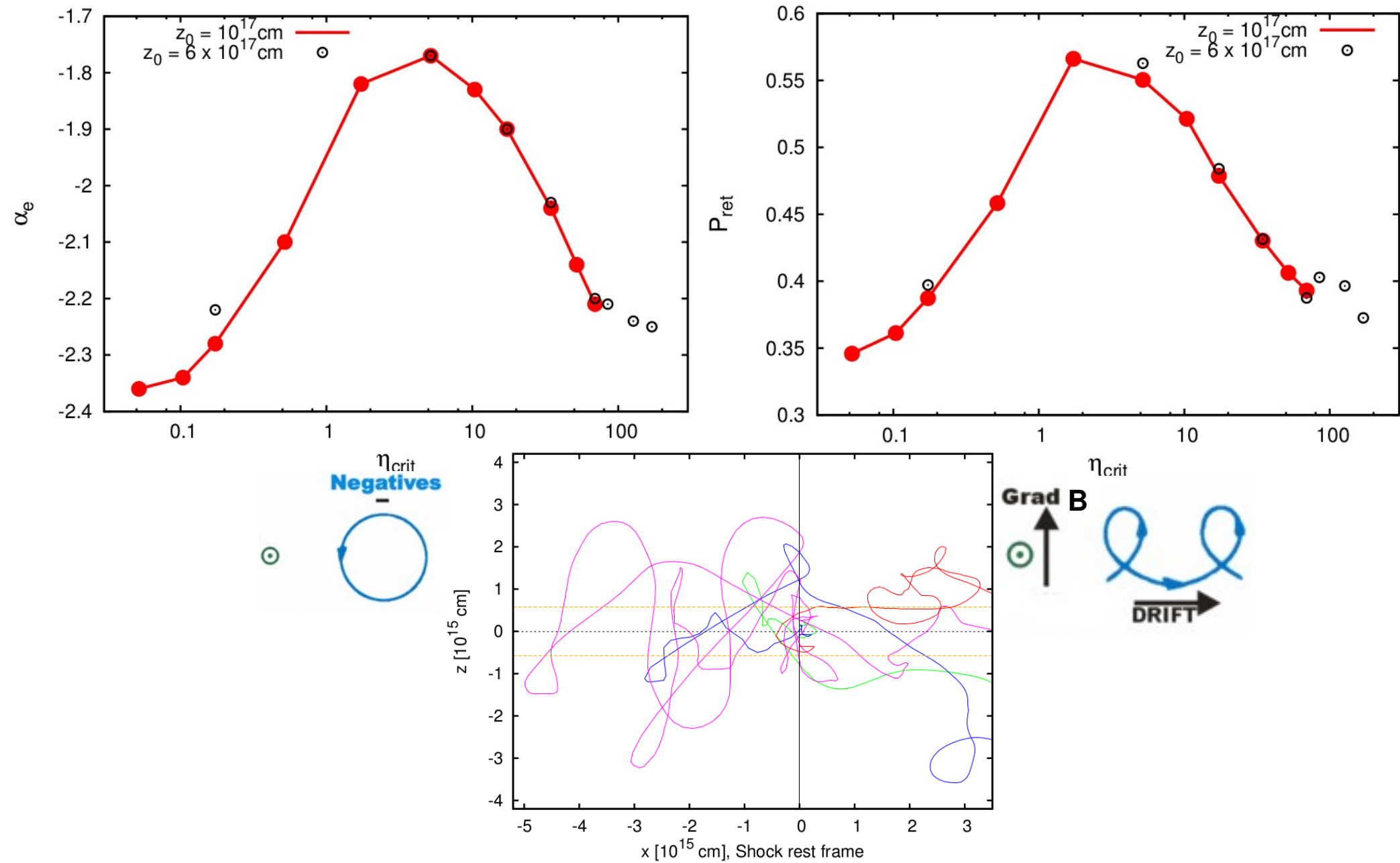


$$\begin{aligned}\eta_{\text{crit}} &\equiv \delta B_d / B_d(z_{\text{crit}}) \\ &\propto \delta B_d \times \sqrt{z_0}\end{aligned}$$

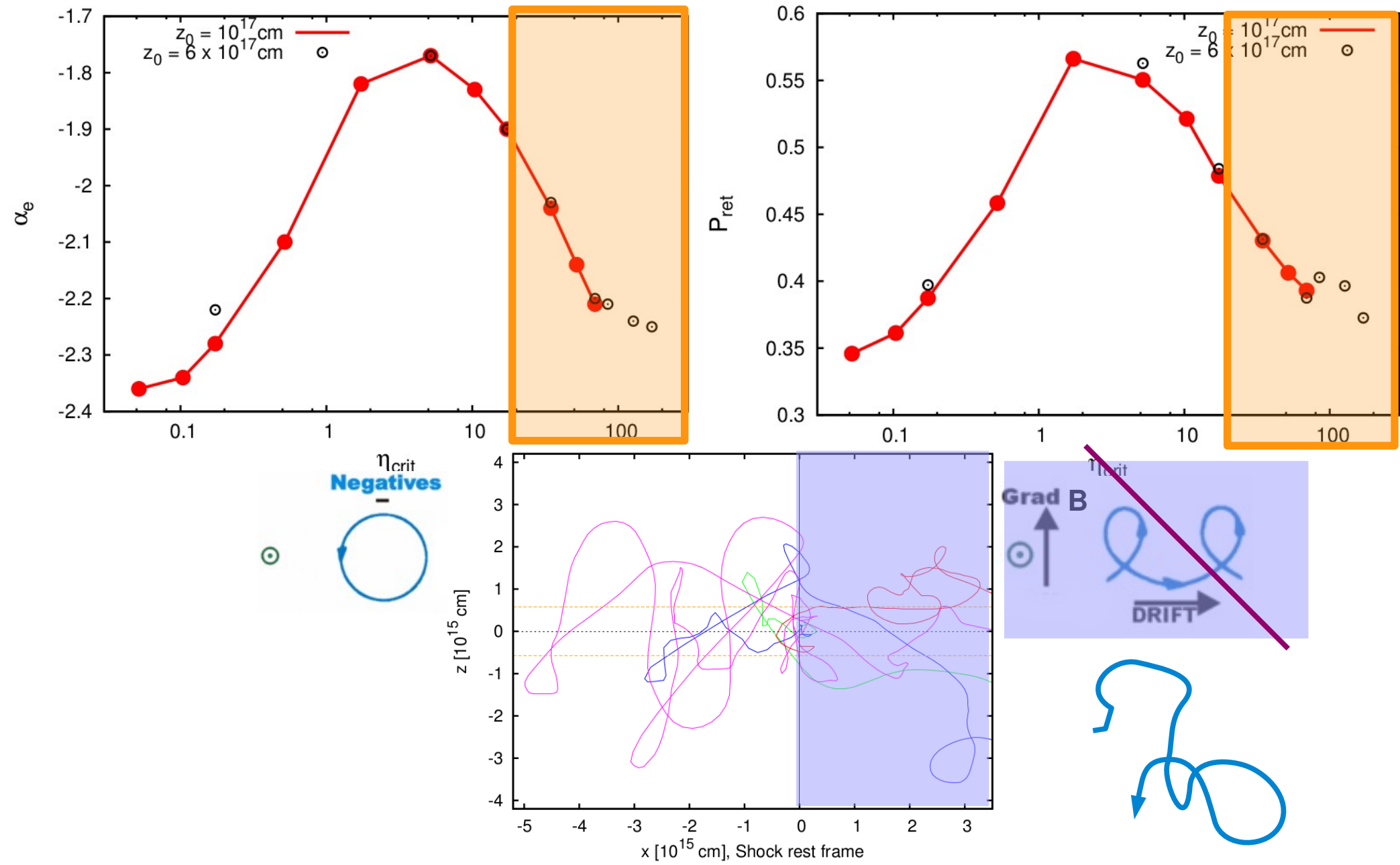
Indice spectral (electrons)



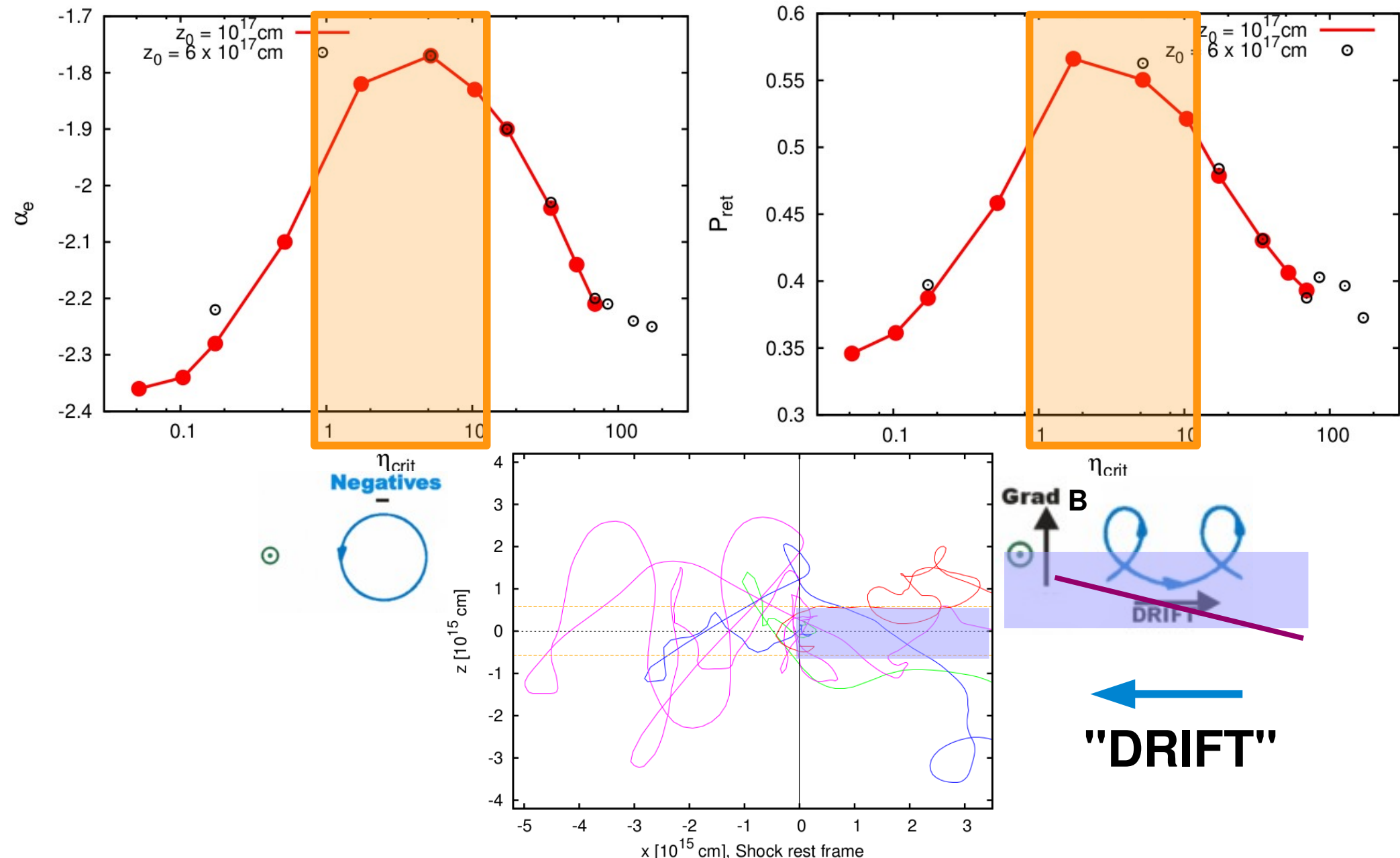
Indice spectral vs Probabilite de retourner dans la region en amont du CT



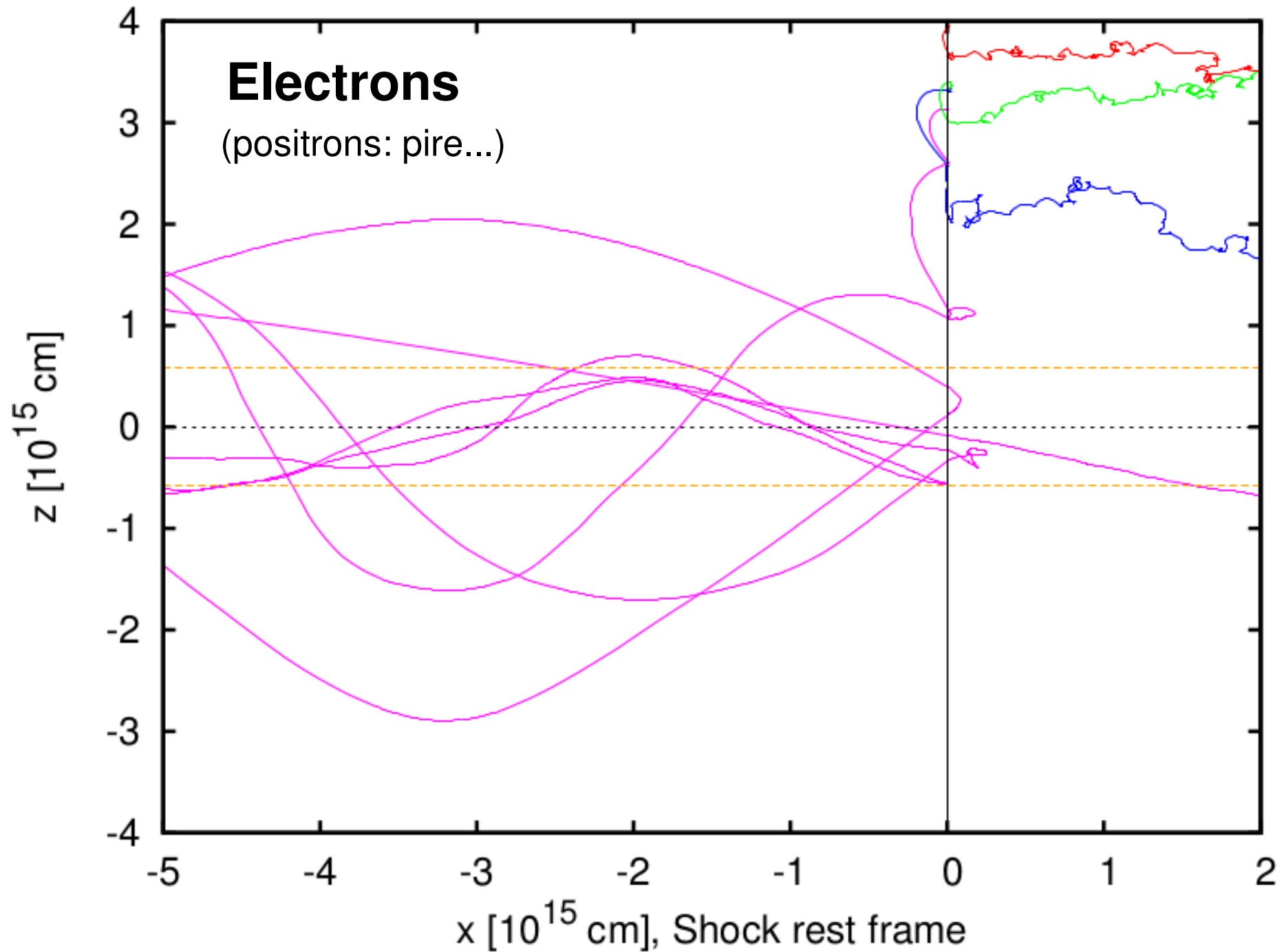
Indice spectral vs Probabilite de retourner dans la region en amont du CT



Indice spectral vs Probabilite de retourner dans la region en amont du CT



... Et plus loin du plan équatorial ?

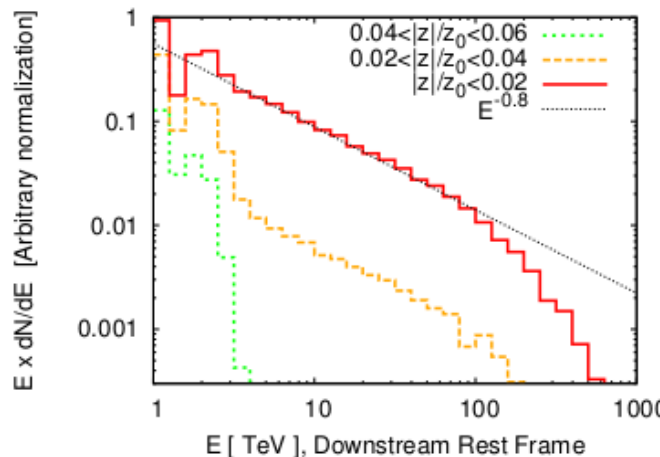


... Et plus loin du plan équatorial ?

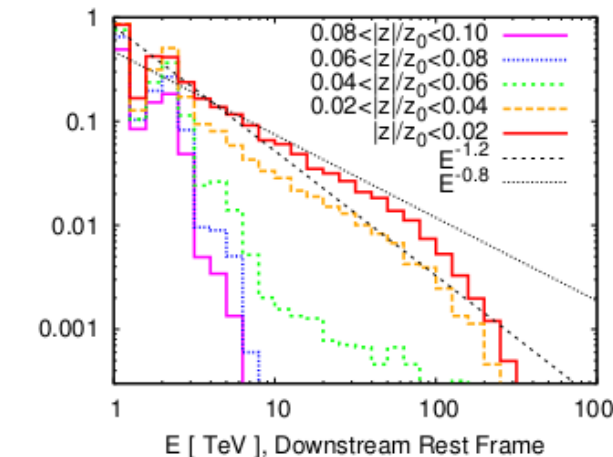
ligne 1 : $z_0 = 10^{17}$ cm $\Theta \simeq 13^\circ$

ligne 2 : $z_0 = 6 \times 10^{17}$ cm $\Theta \simeq 80^\circ$

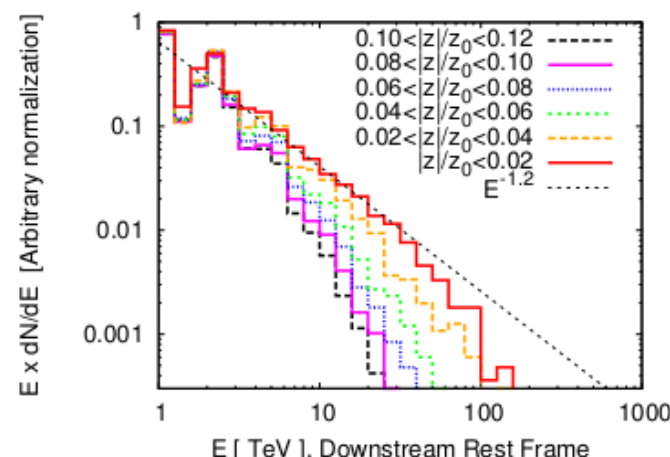
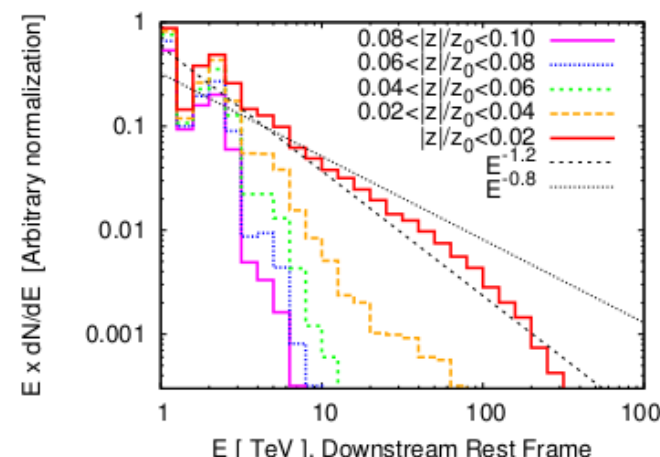
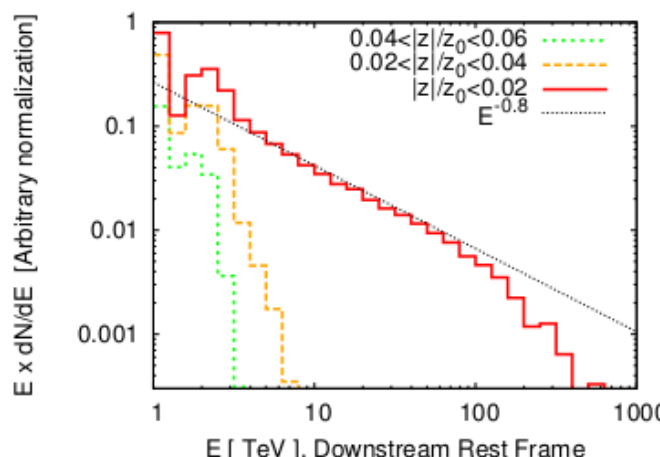
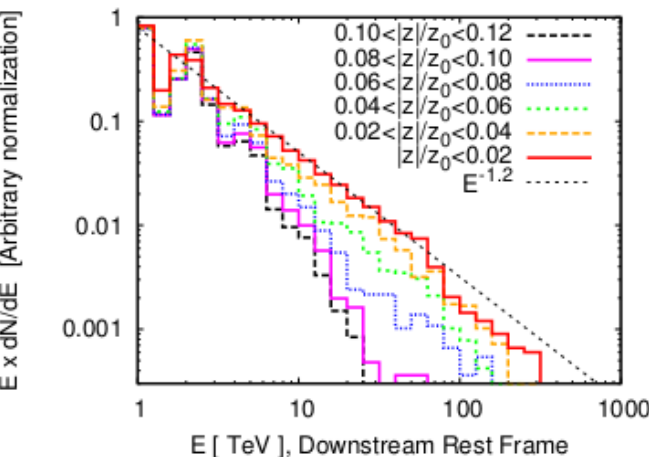
$$\delta B_d = 30 \mu\text{G}$$



$$\delta B_d = 100 \mu\text{G}$$



$$\delta B_d = 400 \mu\text{G}$$



$$z_w \propto z_{\text{crit}} \propto \sqrt{z_0}$$

$$z_w/z_0 \propto 1/\sqrt{z_0}$$

→ Frac. e⁻ acc.

Emission synchrotron en X - Crabe

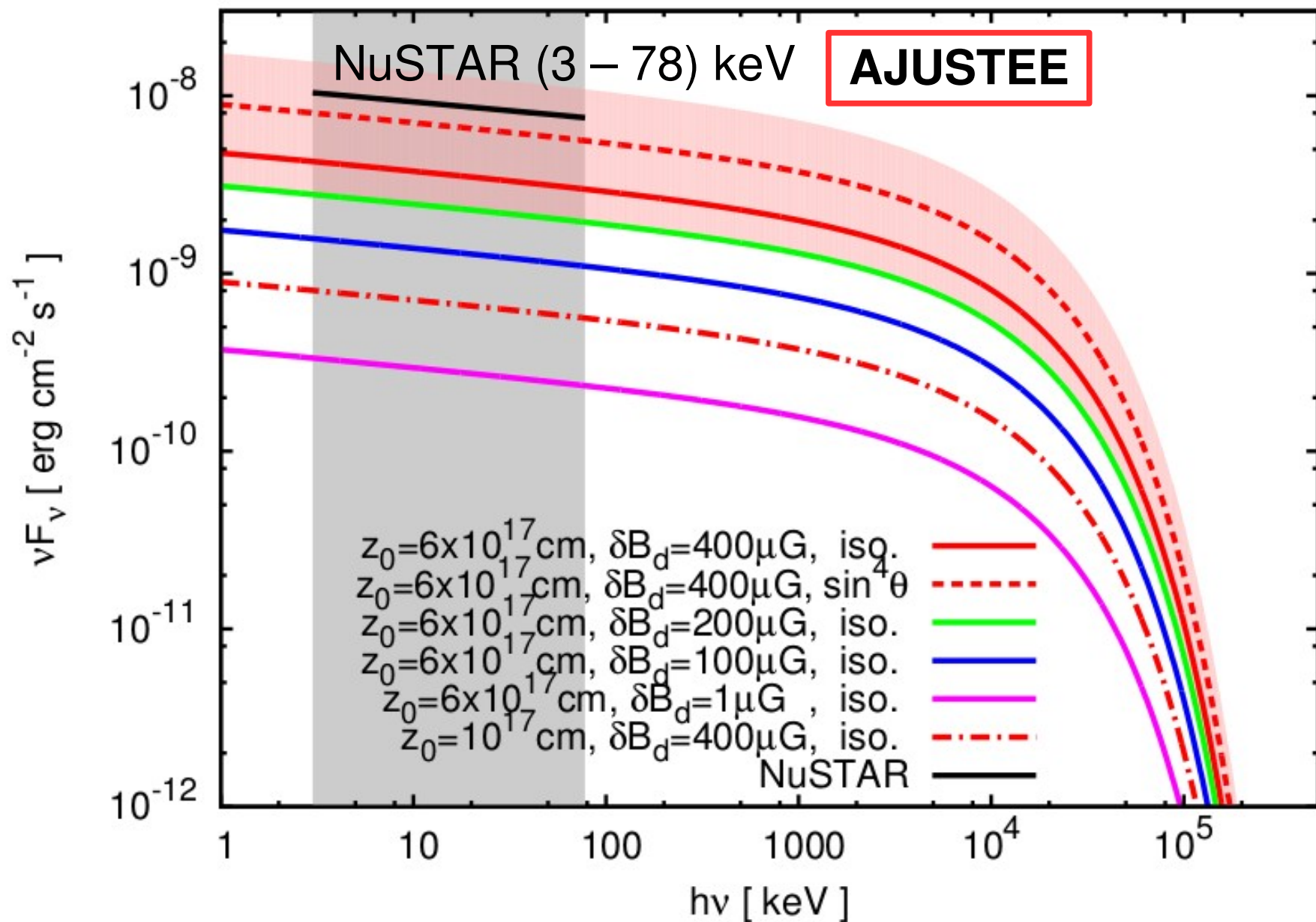
$$E_{\max} = 1 \text{ PeV}$$

$$\alpha_e \simeq -2.2$$

$$B = 0.5 \text{ mG}$$

$$D_{\text{Crab}} = 2.0 \text{ kpc } (\pm 0.5 \text{ kpc})$$

$$L_{\text{s.d.}} = 5 \times 10^{38} \text{ erg s}^{-1}$$



Conclusions

- e^- , e^+ accelererent au **choc terminal** par le mecanisme de **Fermi du 1^{er} ordre**, proche du **plan equatorial** (region en **anneau**),
- e^- **OU** e^+ **pref.^t** accelererent en fonction de la **polarite** du pulsar,
- Du au **shock-drift** (une confinee sur des **orbites de Speiser**),
- **Indice spectre** $\sim -2.4 \dots -1.8$,
- **Ajuste le spectre synchrotron HE** de la nebuleuse du Crabe
- - - > Observations de **XMM-Newton**, et **NuSTAR**,
- Explique le **spectre dur** mesure par **Chandra** (photon index ~ -1.9) proche de la region centrale de la nebuleuse.

Transparents supplementaires

Inductive Spikes in the Crab Nebula: A Theory of γ -Ray Flares

John G. Kirk^{*} and Gwenael Giacinti[†]

Max-Planck-Institut für Kernphysik, Saupfercheckweg 1, 69117 Heidelberg, Germany

(Received 29 August 2017; published 21 November 2017)

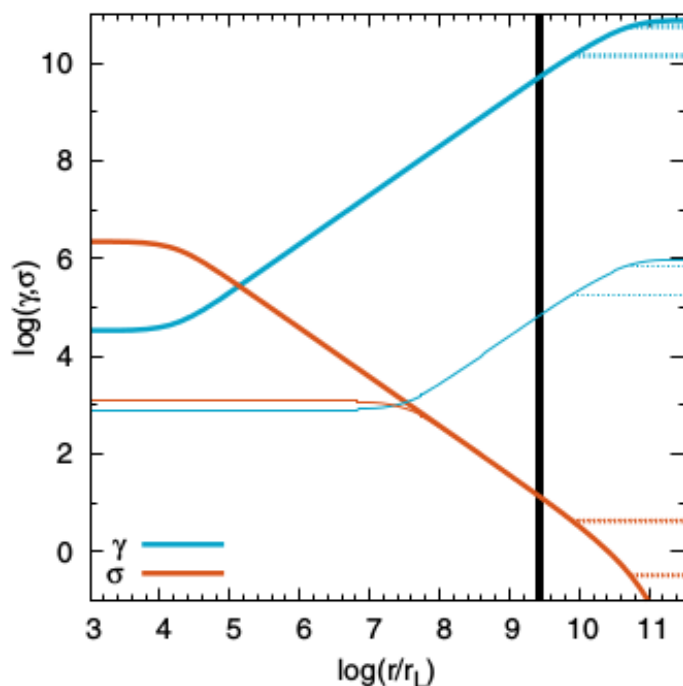


FIG. 1. The radial evolution of the magnetization parameter σ and fluid Lorentz factor γ in a pulsar wind for high pair loading ($\mu = 10^6$, thin lines) and low pair loading ($\mu = a_L$, thick lines), for parameters corresponding to the Crab ($a_L = 7.6 \times 10^{10}$). The position of the termination shock [26] is shown as a thick vertical line. For phase-averaged, dc magnetic fields equal to 90% and 50% of the field magnitude at launch, the horizontal, dotted lines show the solutions after the dissipation of the wave energy, i.e., in the regions $r \gtrsim 10^{10} r_L$ and $r \gtrsim 10^{11} r_L$, respectively.

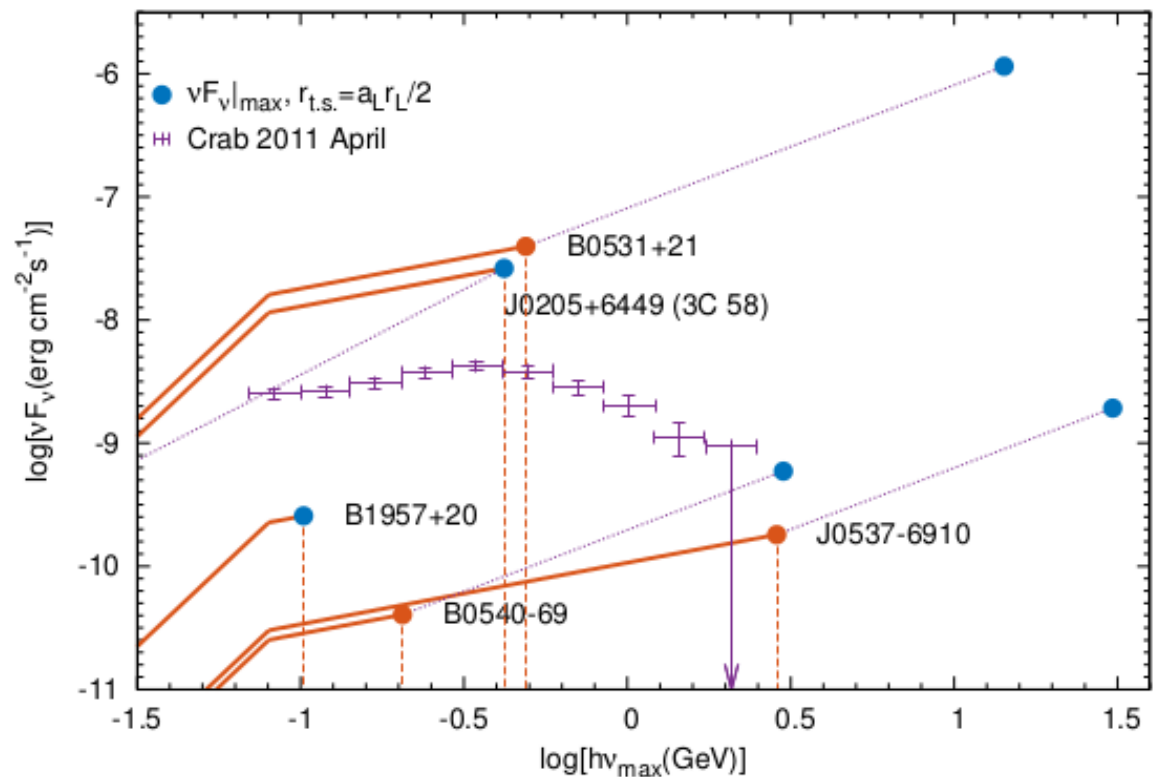


Figure 2: The predicted flare spectrum (solid lines), for the three most powerful known pulsars: the Crab (B0531+21), and two objects in the Large Magellanic Cloud, assuming a turnover at $h\nu_t = 80$ MeV and a filling factor $f = 1$. For B0531+21, J0537-6910 and B0540-69, dotted lines trace the locus of the peak flux as the position of the termination shock is varied between the observed value (orange dots) and $a_L r_L / 2$ (blue dots). For J0205+6449 (3C 58) and B1957+20 only the (optimistic) blue dots and the corresponding spectra are shown. Fermi observations of the powerful flare from the Crab Nebula in April 2011 are also shown — points taken from Fig 6, epoch 7 of Ref. [3].

Modele

nebuleuse

Plan
equatorial

Vent
strié

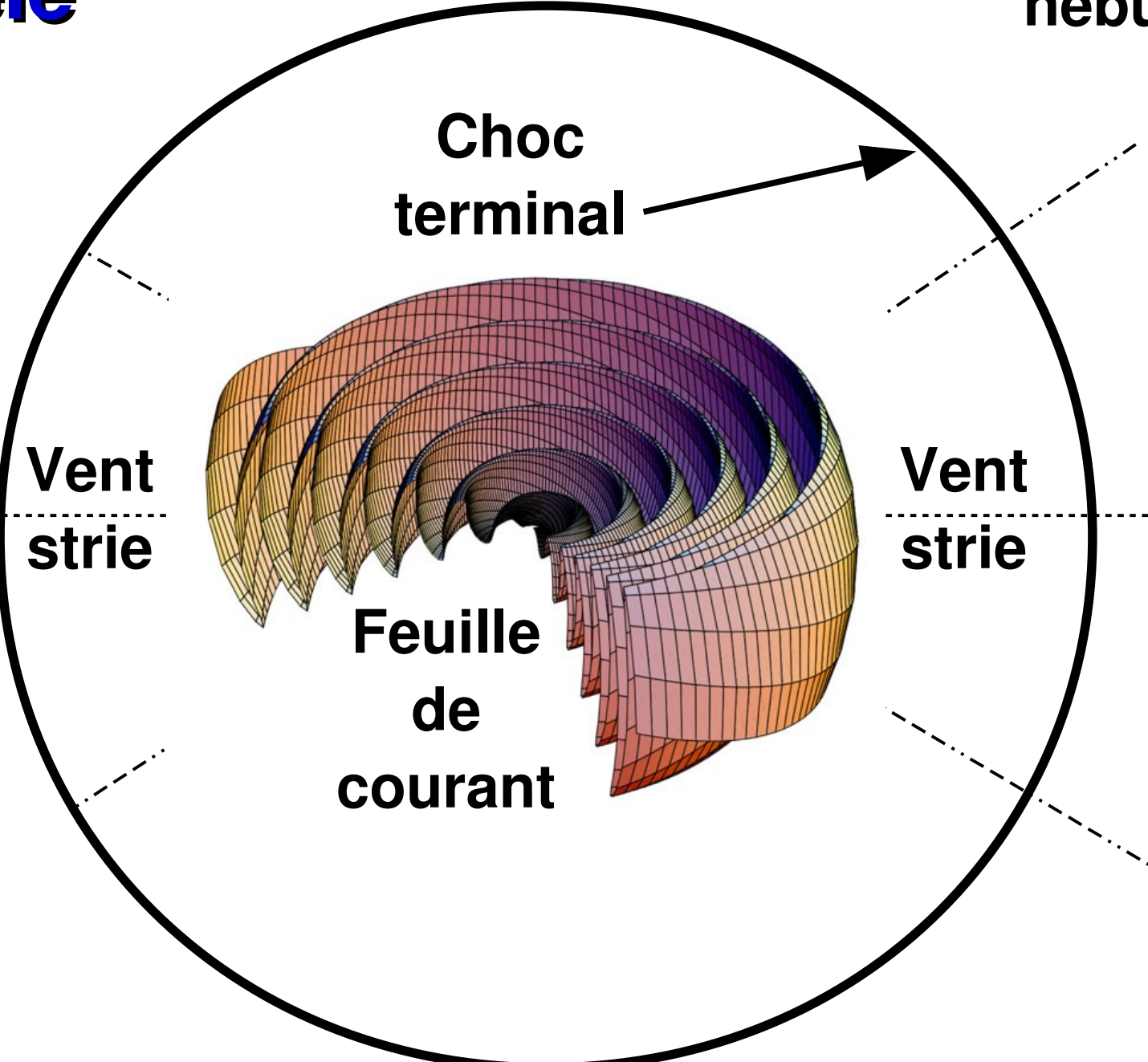
Feuille
de
courant

Vent
strié

Plan
equat.^l

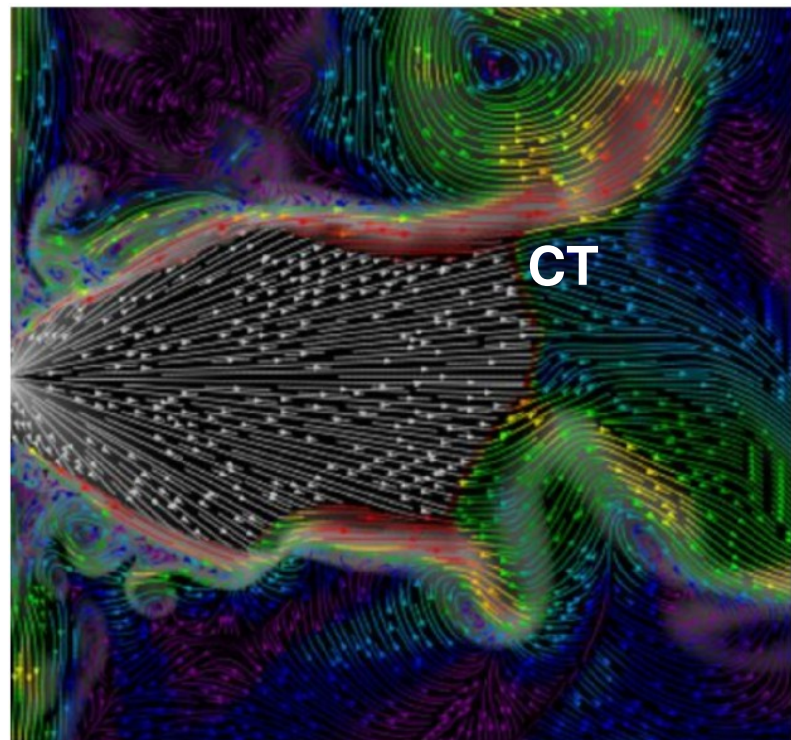
Choc
terminal

nebuleuse

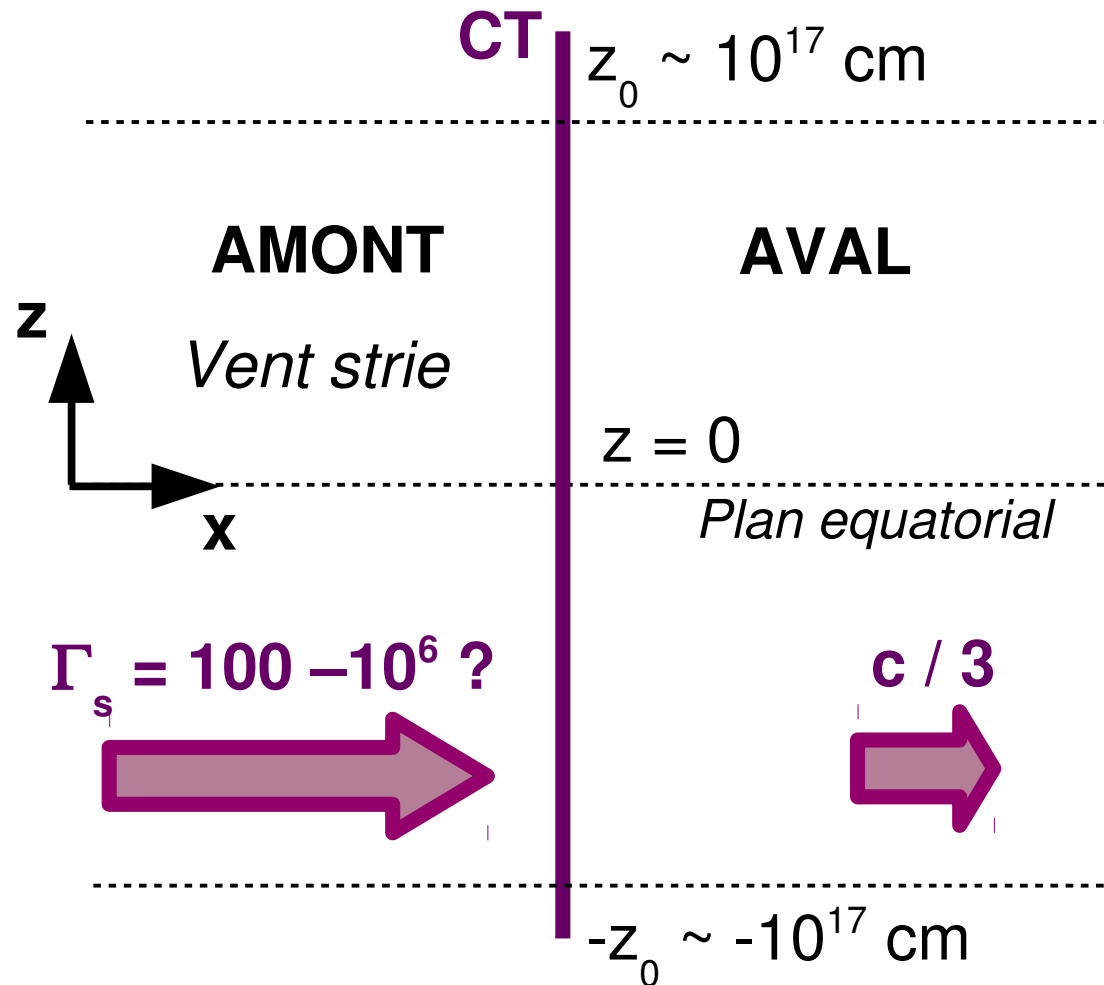


Modele et simulations numériques

Buehler & Giomi (2016) :

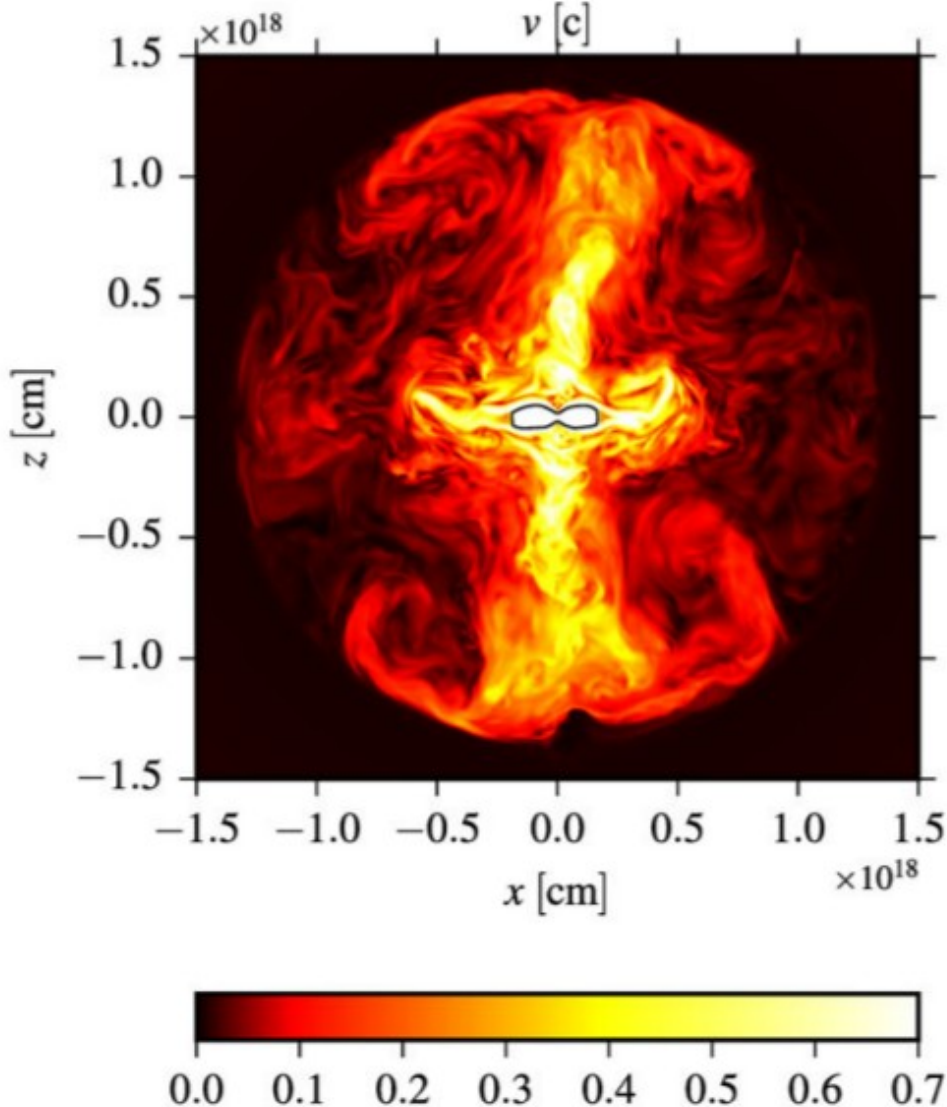


NOTRE MODELE (PLANAIRE) :

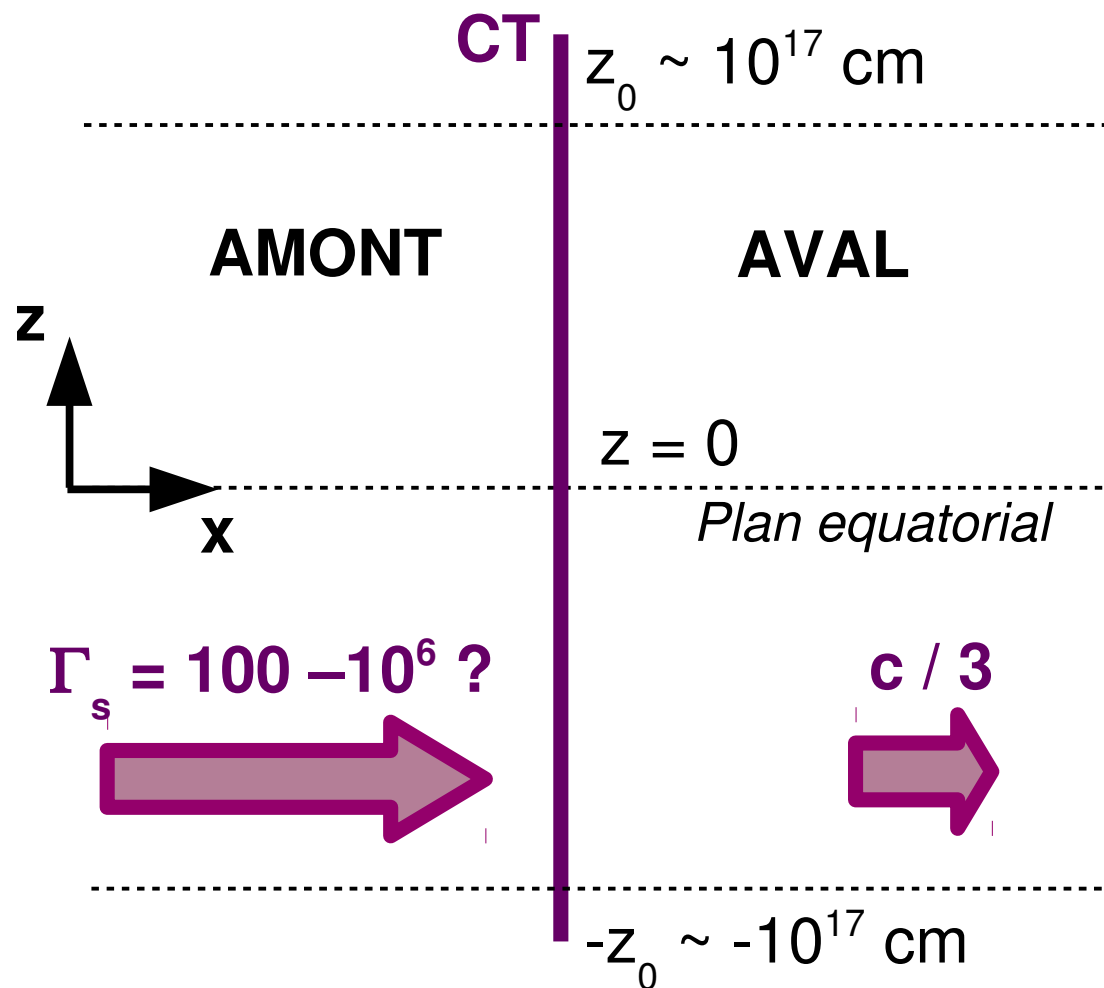


Modele et simulations numériques

Porth *et al.* (2014, 2016):



NOTRE MODELE (PLANAIRE) :



Modele et simulations numériques

NOTRE MODELE (PLANAIRE) :

$$\mathbf{B}_u(z) = \begin{cases} -B_{u,0}\hat{\mathbf{y}} & \text{if } z > z_0 \\ -B_{u,0}(z/z_0)\hat{\mathbf{y}} & \text{if } |z| \leq z_0 \\ +B_{u,0}\hat{\mathbf{y}} & \text{if } z < -z_0 \end{cases}$$

"Jump conditions" :

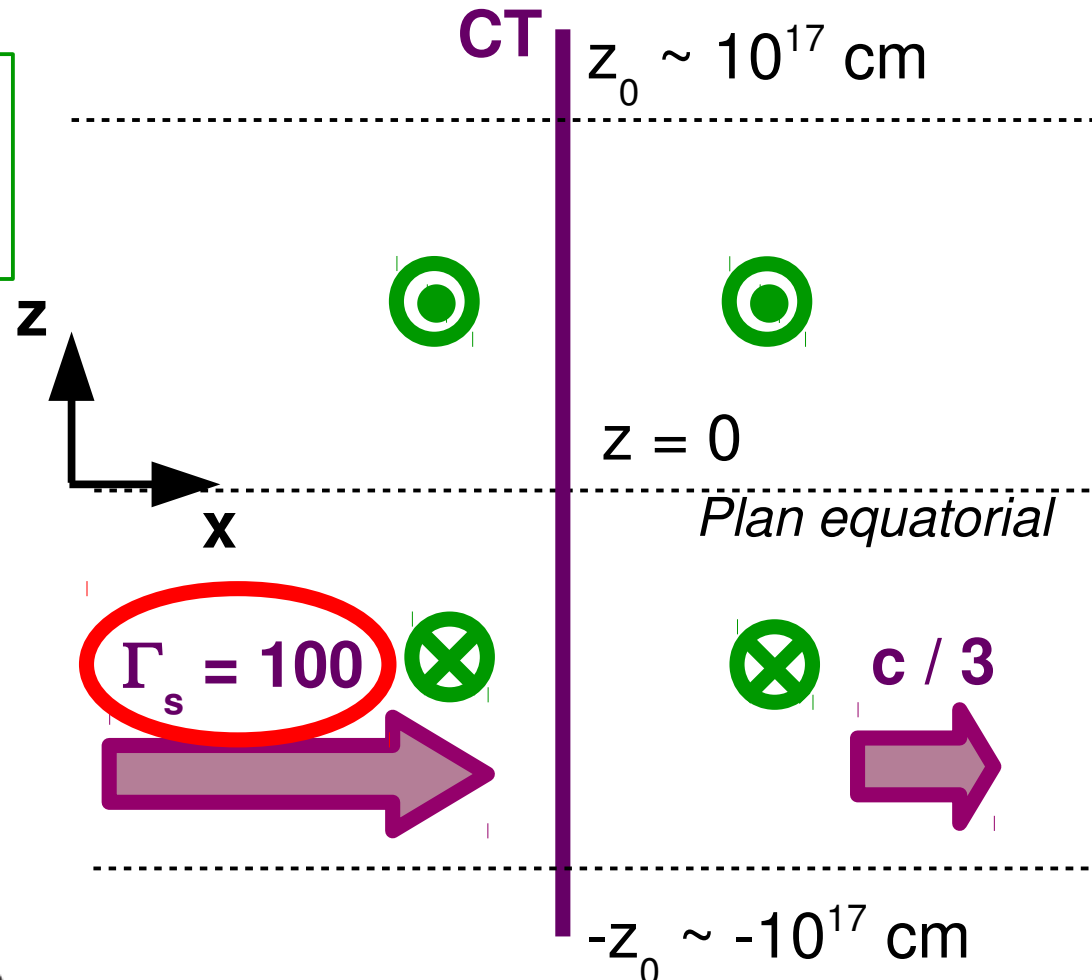
$$B_{u,RF} = (\Gamma_d/3\Gamma_u)B_{d,RF}$$

Dans le Référentiel du choc :

$$\mathbf{E}'_u(z) = \frac{1}{2\sqrt{2}} \times \begin{cases} -B_{d,0}\hat{\mathbf{y}} & \text{if } z > z_0 \\ -B_{d,0}(z/z_0)\hat{\mathbf{y}} & \text{if } |z| \leq z_0 \\ +B_{d,0}\hat{\mathbf{y}} & \text{if } z < -z_0 \end{cases}$$

$$\mathbf{B}'_u(z) = \frac{1}{2\sqrt{2}\beta_u} \times \begin{cases} -B_{d,0}\hat{\mathbf{y}} & \text{if } z > z_0 \\ -B_{d,0}(z/z_0)\hat{\mathbf{y}} & \text{if } |z| \leq z_0 \\ +B_{d,0}\hat{\mathbf{y}} & \text{if } z < -z_0 \end{cases}$$

→ ≈ 1 (si ultrarelativiste)



Modele et simulations numeriques

INJECTION :

Energie par particule en unites de $m_e c^2$ apres dissipation du flux de Poynting (vent isotrope):

$$\mu = \frac{L_{\text{s.d.}}}{\dot{N}_{\pm} m_e c^2}$$

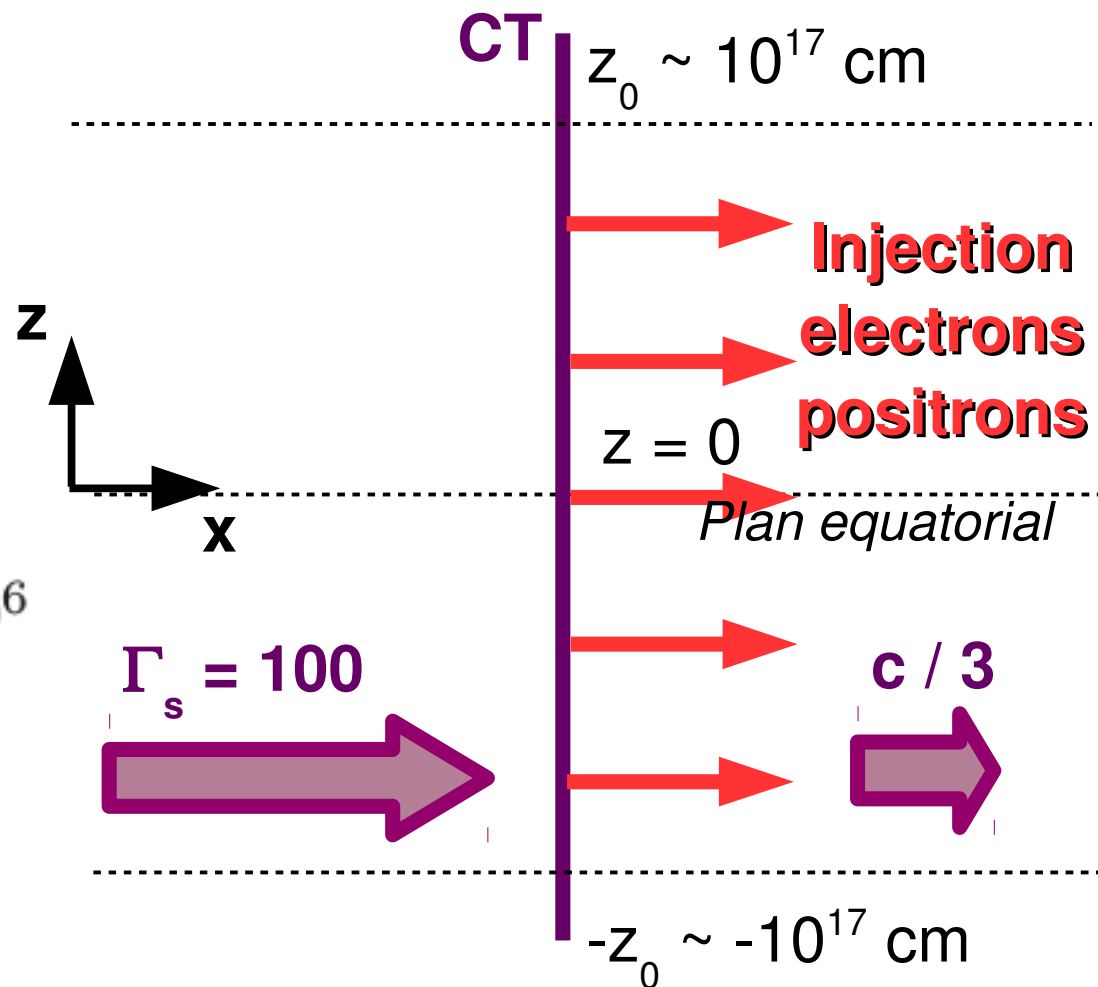
Crabe (Olmi+'16): $10^4 \lesssim \mu \lesssim 10^6$

Amano & Kirk (2013) + Giacchè & Kirk (2017) =>

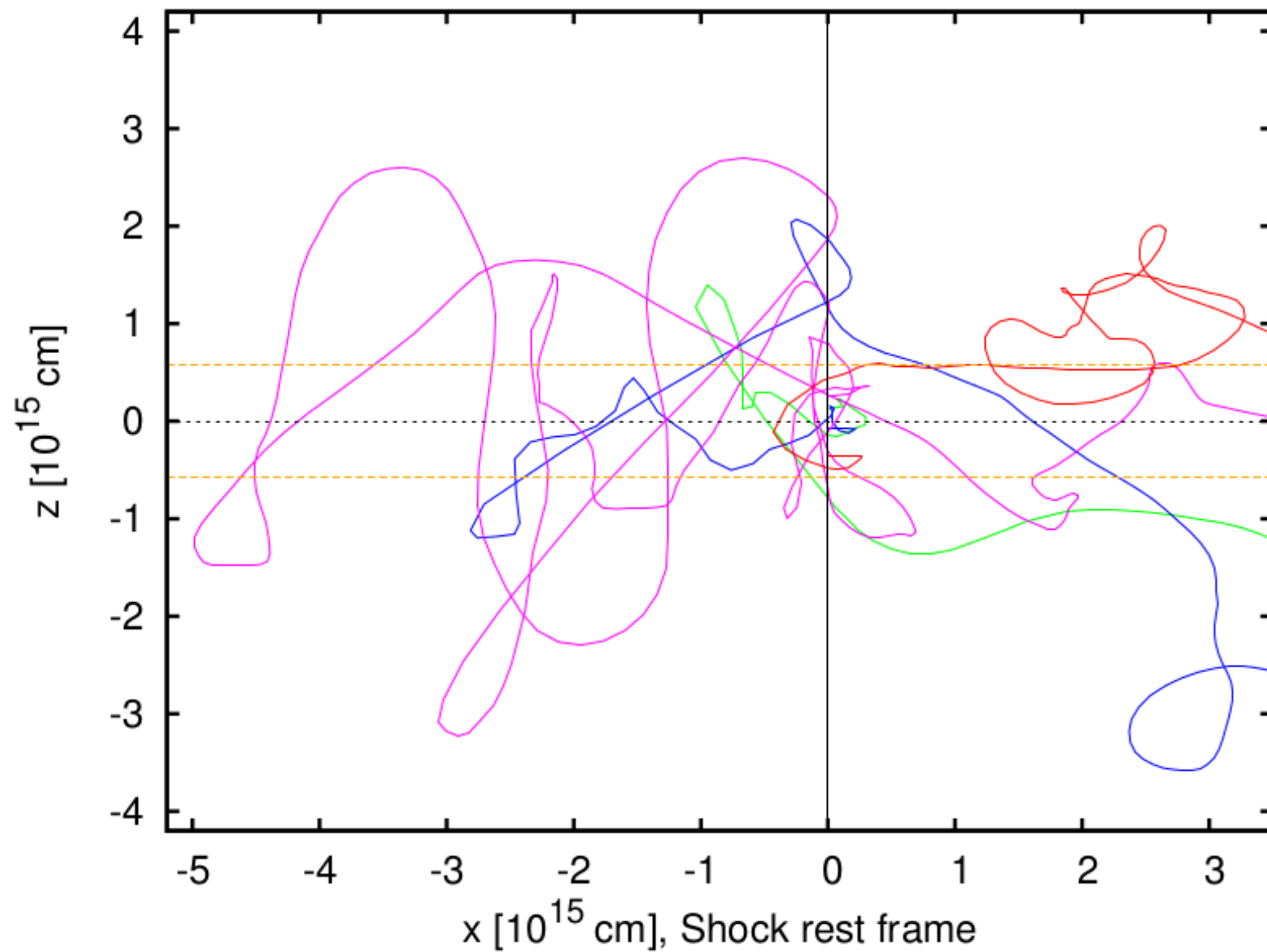
$$E_{\text{inj,d}} = \gamma_{\text{inj,d}} m_e c^2 \approx \mu m_e c^2$$

$$\Rightarrow E_{\text{inj,d}} = 1 \text{ TeV}$$

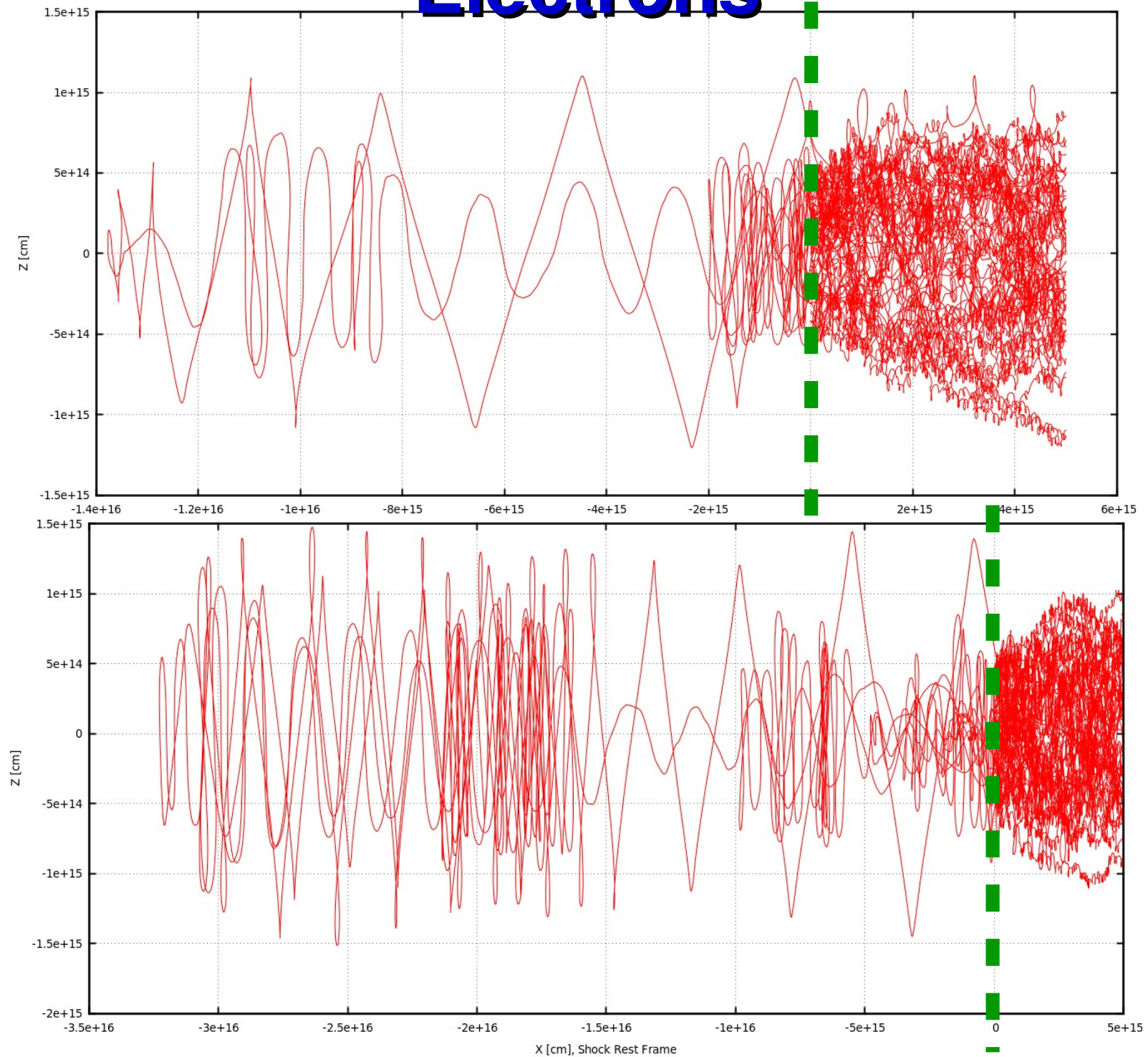
NOTRE MODELE (PLANAIRE) :



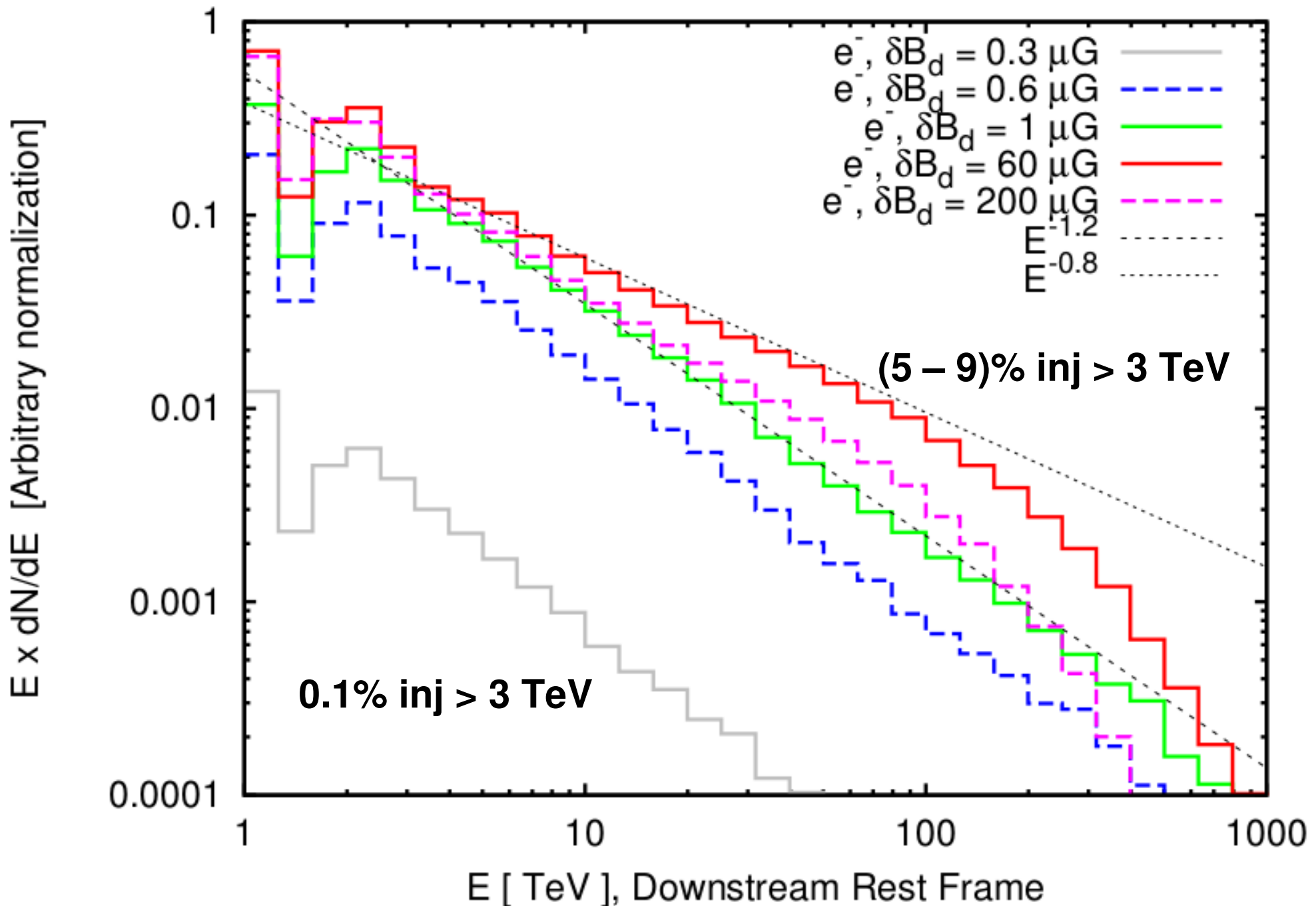
Electrons



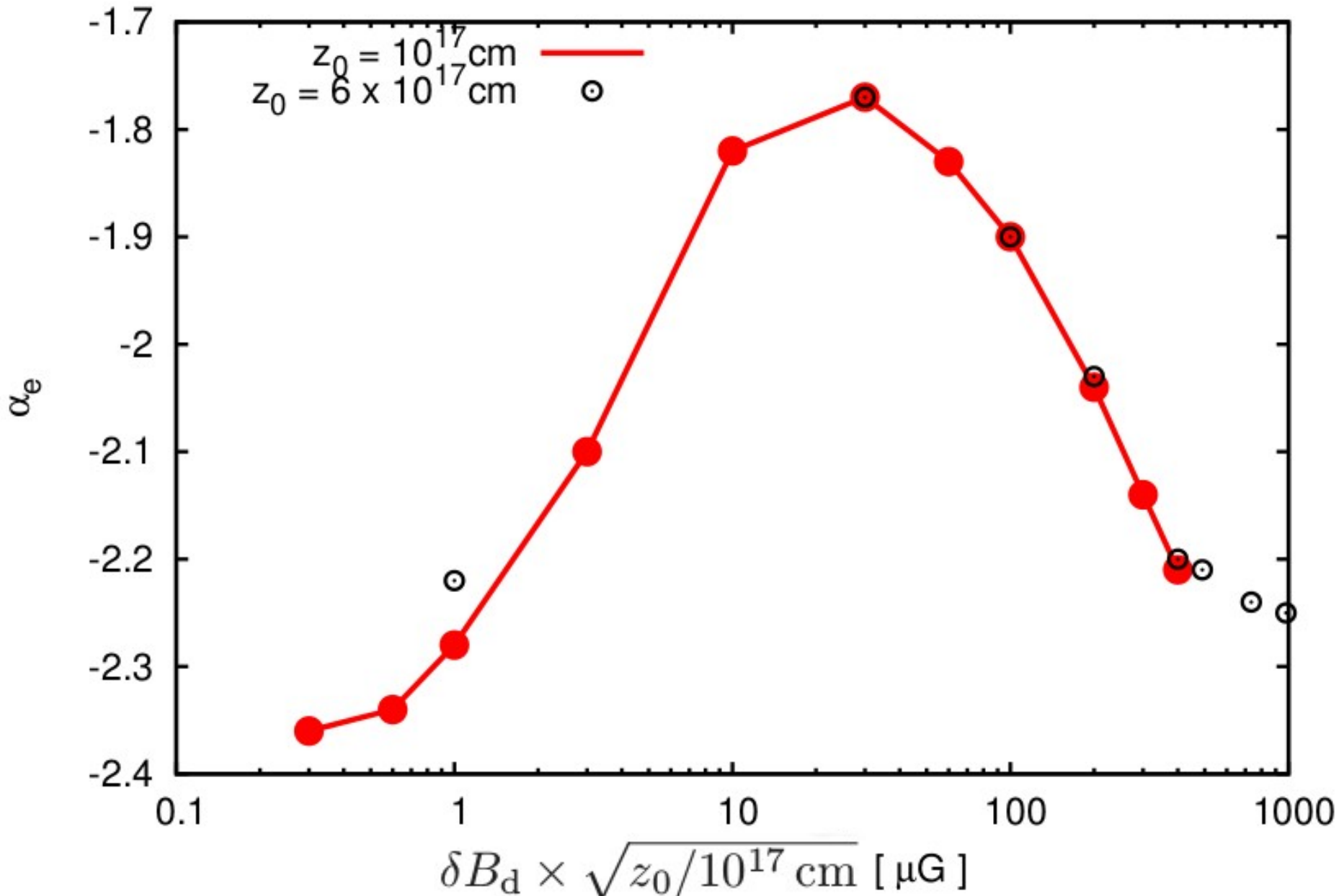
Electrons



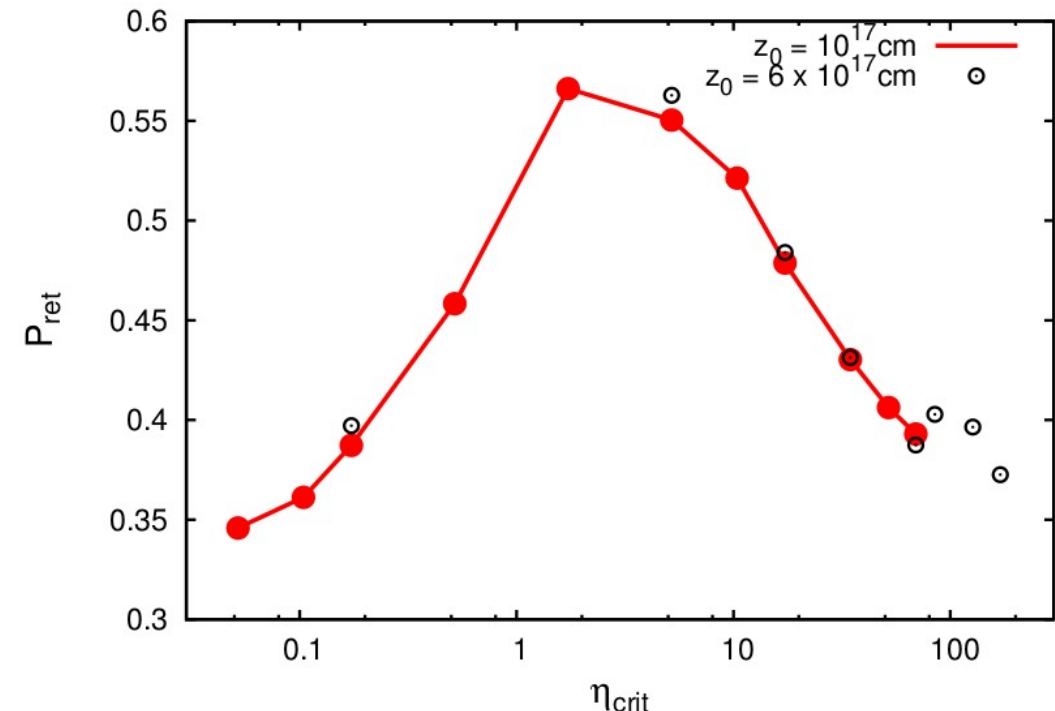
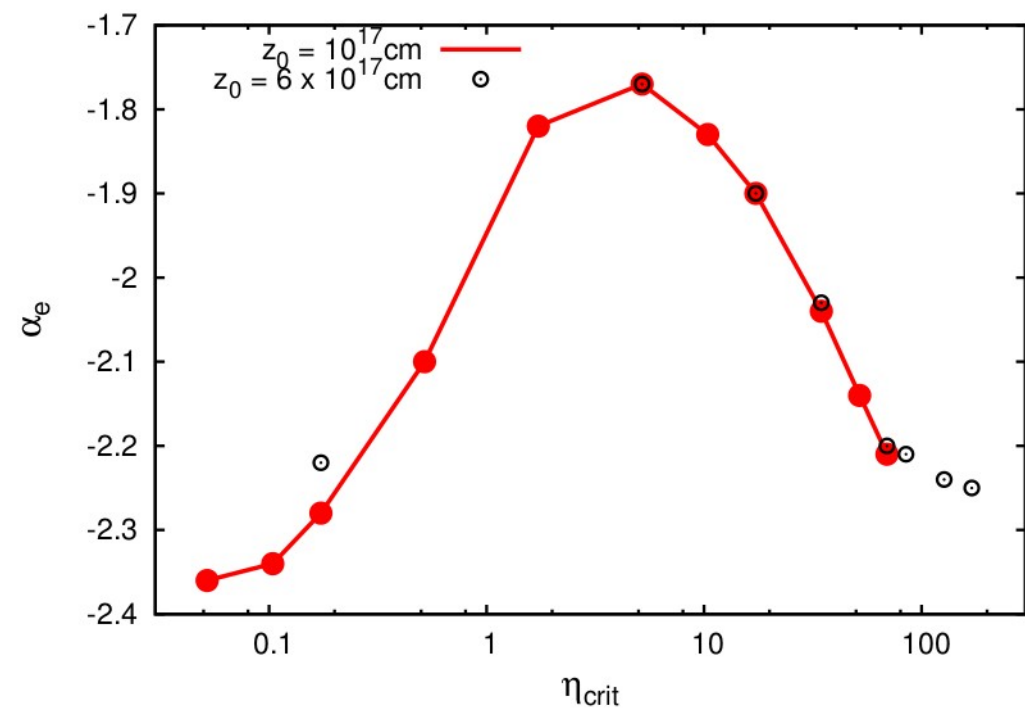
Spectre électrons vs niveau turbulence



Indice spectral (electrons)



Indice spectral vs Probabilite de retourner dans la region en amont du CT



Fortement correles!

e⁻ injectées dans la région équatoriale

SPECTRUM, RETURN PROBABILITY AND ENERGY GAIN PER CYCLE FOR ELECTRONS INJECTED
AT $|z|/z_{\text{crit}} \leq 2.6$

$z_0/(10^{17} \text{ cm})$	$\delta B_d/(1 \mu\text{G})$	η_{crit}	α_e	\mathcal{P}_{ret}	$(\Delta E/E)_d$	$\epsilon_{\text{acc},3}$
1	0.3	5.2×10^{-2}	-2.36 ± 0.03	0.35	1.05	1.1×10^{-3}
	0.6	0.10	-2.34 ± 0.02	0.36	1.07	2.1×10^{-2}
	1	0.17	-2.28 ± 0.02	0.39	1.06	4.4×10^{-2}
	3	0.52	-2.10 ± 0.02	0.46	1.08	6.9×10^{-2}
	10	1.7	-1.82 ± 0.03	0.57	1.07	8.4×10^{-2}
	30	5.2	-1.77 ± 0.01	0.55	1.10	5.7×10^{-2}
	60	10	-1.83 ± 0.01	0.52	1.11	5.3×10^{-2}
	100	17	-1.90 ± 0.01	0.48	1.09	5.2×10^{-2}
	200	35	-2.04 ± 0.01	0.43	1.09	4.7×10^{-2}
	300	52	-2.14 ± 0.02	0.41	1.09	4.8×10^{-2}
	400	69	-2.21 ± 0.01	0.39	1.08	4.5×10^{-2}
	<hr/>					
6	0.41	0.17	-2.22 ± 0.01	0.40	1.05	3.2×10^{-2}
	12	5.2	-1.77 ± 0.01	0.56	1.09	6.3×10^{-2}
	41	17	-1.90 ± 0.01	0.48	1.11	5.0×10^{-2}
	82	35	-2.03 ± 0.02	0.43	1.14	4.4×10^{-2}
	163	69	-2.20 ± 0.03	0.39	1.13	4.7×10^{-2}
	200	85	-2.21 ± 0.03	0.40	1.16	
	300	1.3×10^2	-2.24 ± 0.04	0.40	1.14	
	400	1.7×10^2	-2.25 ± 0.05	0.37	1.16	

NOTE. — “ $|z|/z_{\text{crit}} \leq 2.6$ ” corresponds to “ $|z|/z_0 \leq 0.015/\sqrt{z_0/(10^{17} \text{ cm})}$ ”. $E_{\text{inj,d}} = 1 \text{ TeV}$ and $B_{d,0} = 1 \text{ mG}$.

... Et plus loin du plan équatorial ?

FRACTION OF ACCELERATED ELECTRONS OVER THE WHOLE TS

$z_0/(10^{17} \text{ cm})$	$\delta B_d/(1 \mu\text{G})$	η_{crit}	$\epsilon_{\text{acc},7}$	\mathcal{F}_{inj}
1	0.6	0.10	3.19×10^{-4}	0.05
1	1	0.17	2.06×10^{-3}	0.05
1	3	0.52	6.99×10^{-3}	0.05
1	10	1.7	5.72×10^{-3}	0.05
1	30	5.2	1.01×10^{-2}	0.055
1	60	10	7.22×10^{-3}	0.08
1	100	17	5.78×10^{-3}	0.1
1	200	35	7.59×10^{-3}	0.1
1	300	52	6.42×10^{-3}	0.12
1	400	69	5.93×10^{-3}	0.17
6	0.6	0.25	3.24×10^{-4}	0.05
6	1	0.42	1.39×10^{-3}	0.05
6	3	1.3	3.47×10^{-3}	0.05
6	10	4.2	3.56×10^{-3}	0.05
6	30	13	4.15×10^{-3}	0.055
6	60	25	3.48×10^{-3}	0.08
6	100	42	3.33×10^{-3}	0.1
6	200	85	5.84×10^{-3}	0.1
6	300	1.3×10^2	5.26×10^{-3}	0.12
6	400	1.7×10^2	5.27×10^{-3}	0.17

NOTE. — Electrons are injected at $|z|/z_0 \leq \mathcal{F}_{\text{inj}}$. $E_{\text{inj,d}} = 1 \text{ TeV}$ and $B_0 = 1 \text{ mG}$.

Emission synchrotron en X - Crabe

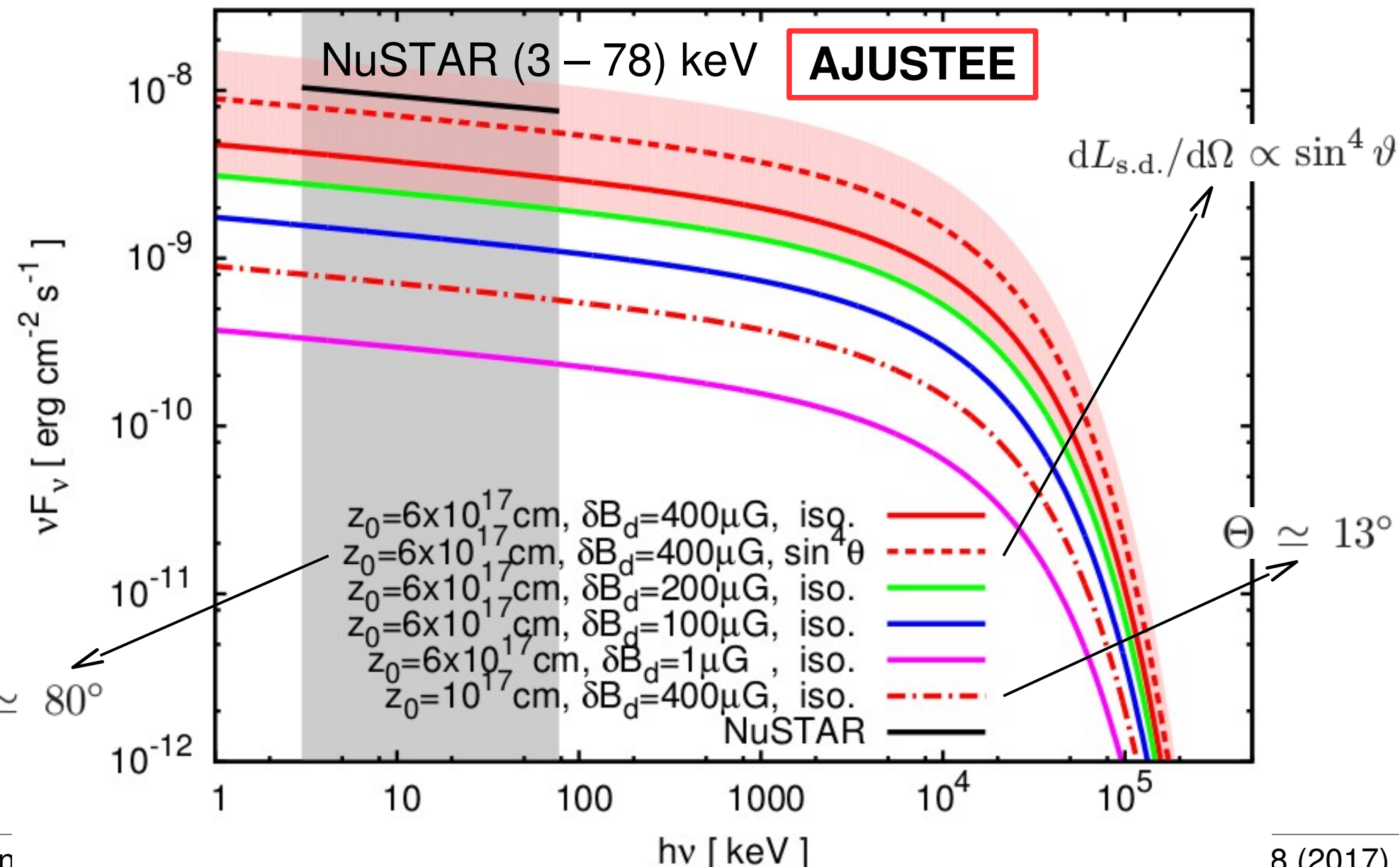
$$E_{\max} = 1 \text{ PeV}$$

$$\alpha_e \simeq -2.2$$

$$B = 0.5 \text{ mG}$$

$$D_{\text{Crab}} = 2.0 \text{ kpc } (\pm 0.5 \text{ kpc})$$

$$L_{\text{s.d.}} = 5 \times 10^{38} \text{ erg s}^{-1}$$



Electrons

- Does not depend on spectrum of turb. in upst.
- Cutoff at high- E : L_{\max} from turb.

